

تفکیک زمین‌شیمیایی توده‌های نفوذی بارور از نابارور در کمر بند مس پورفیری کرمان

* بهنام شفیع‌ی؛ دانشگاه گلستان، دانشکده علوم پایه، گروه زمین‌شناسی
جمشید شهاب‌پور؛ دانشگاه شهید باهنر کرمان، دانشکده علوم پایه، گروه زمین‌شناسی

چکیده

توده‌های نفوذی بارور و نابارور با سن الیگو-میوسن و ترکیب کانی‌شناسی مشابه در کمر بند مس پورفیری کرمان تفاوت‌های زمین‌شیمیایی مهمی را از لحاظ عناصر فرعی و خاکی نادر آشکار کردند. توده‌های نفوذی بارور به‌بترین نحوی با ویژگی‌هایی مانند مقادیر اندک اکسید منگنز (درصد وزنی $\text{MnO} \leq 0.1$)، ایتریوم ($\text{Y} \leq 18$ ppm)، عناصر با میدان پایداری زیاد ($\sum \text{HFSE} \leq 100$ ppm) و عناصر خاکی نادر سنگین ($\text{Yb} \leq 1/9$ ppm) و مقادیر زیاد استرانسیوم ($1015-406$ ppm)، $\text{Sr}/\text{Y} \geq 30$ ، تفریق شدید از عناصر خاکی نادر ($\text{La}/\text{Yb} \geq 20$) و همچنین بی‌هنجاری مثبت یورپیم ($\text{Eu}/\text{Eu}^* \geq 1$) از توده‌های نابارور با ویژگی‌های $\text{MnO} \leq 0.1$ wt. %، $\text{Y} = 12-50$ ppm، $\text{Sr}/\text{Y} \leq 30$ ، $\text{Eu}/\text{Eu}^* < 1$ ، $\text{La}/\text{Yb} < 15$ ، $\text{Sr} = 184-576$ ppm، Y ماگماهای آبدار و اکسیدان معرفی شدند که می‌تواند ناشی از شرایط متفاوت شکل‌گیری آن‌ها در مقایسه با ماگماهای نابارور باشد. طبق پژوهش حاضر، برخی نمودارهای تفکیک‌کننده که می‌توانند به‌عنوان ابزاری برای شناسایی توده‌های نفوذی بارور، جایی‌که این توده‌ها با توده‌های نفوذی نابارور همراه هستند، در دیگر مکان‌های مس‌خیز ایران استفاده شوند عبارتند از: $\text{La}/\text{Yb}-\text{Yb}$ ، $\text{La}/\text{Yb}-\text{SiO}_2$ ، $\text{Sr}/\text{Y}-\text{Y}$ ، $\text{Sr}/\text{Y}-\text{SiO}_2$ ، $\text{MnO}-\text{Y}$ ، $\sum \text{HFSE}-\text{Y}$ و $\text{Eu}/\text{Eu}^*-\text{SiO}_2$.

مقدمه

در ایالت‌های مس پورفیری، در مقیاس ناحیه‌ای و محلی، توده‌های نفوذی از نظر کانه‌زایی قابل تفکیک به دو گروه بارور و نابارور هستند. گروه بارور توده‌های نفوذی هستند که مولد کانه‌زایی مس هستند و در اکثر ایالت‌های واجد فلززایی مس تعداد کمی از این نوع توده‌های نفوذی، وجود دارند. گروه نابارور اشاره به توده‌هایی دارد که کانه‌زایی با آن‌ها حادث نشده است. این گروه تعداد بسیاری از توده‌ها را در یک ایالت فلززایی مس به‌خود اختصاص می‌دهند که در جوار توده‌های بارور قرار دارند و آن‌ها را همراهی می‌کنند؛ هرچند که ممکن است به لحاظ سنی مشابه یا متفاوت باشند. در دهه‌های اخیر تلاش‌های ارزش‌مند و فراوانی برای تفکیک

واژه‌های کلیدی: زمین‌شیمی، مس پورفیری، نفوذی‌های بارور

پذیرش ۹۱/۱۰/۱۸

دریافت ۹۰/۱/۱۵

behnam.shafiei@gmail.com

*نویسنده مسیول

توده‌های نفوذی بارور از توده‌های نابارور در ایالت‌های واجد فلز زایی مس پورفیری به‌ویژه در آند (شیلی) و آریزونا (جنوب غرب ایالات متحده آمریکا) و با استفاده از روش‌های گوناگون مانند کانی‌شناسی، شیمی‌کانی، زمین‌شیمی سنگ کُل و تحقیقات ایزوتوپی انجام پذیرفته است [۱]-[۱۱]. طبق این پژوهش‌ها رهیافت‌های ارزش‌مندی با راهبرد اکتشاف ناحیه‌ای به‌دست آمده است. ایران زمین به‌عنوان بخشی از نواحی غربی کمربند فلز زایی تیتیس برای تحمل تکنونیک خاص نواحی هم‌گرایی صفحات، کمان‌های ماگمایی متعدد، مجزا و باریکی را در دوران سنوزوییک در پهنه خود جای داده است که واجد کانسارها و نشانه‌های فراوانی از کانی‌سازی مس و به‌ویژه از نوع پورفیری هستند. از مهم‌ترین نواحی آتشفشانی-نفوذی واجد کانسار و نشانه‌های کانی‌سازی مس پورفیری می‌توان به کمان ماگمایی سنوزوییک کرمان در جنوب شرق ایران اشاره کرد که واجد بیش از ۲۰۰ کانسار، اندیس و نشانه معدنی از کانی‌سازی مس است که بسیاری از آن‌ها ویژگی‌های مس پورفیری را به نمایش گذاشته‌اند (شکل ۱ الف، ب). کانی‌سازی مس پورفیری در کمان ماگمایی سنوزوییک کرمان از لحاظ زمانی و مکانی با توده‌های نفوذی کم‌ژرفای متعلق به میوسن میانی- پایانی (گرانیتوئیدهای تیپ کوه پنج) رخ داده است [۱۲]-[۱۵]. در مقابل، توده‌های نفوذی ایوسن- الیگوسن (گرانیتوئیدهای تیپ جبال بارز) هرچند که به فراوانی در ناحیه کمان ماگمایی و در جوار این توده‌ها وجود دارند لیکن هیچ‌گونه کانی‌سازی اصلی از مس پورفیری با آن‌ها حادث نشده است. به‌عبارت بهتر توده‌های گرانیتوئیدی میوسن میانی- پایانی، بارور و گرانیتوئیدهای ایوسن- الیگوسن نابارور بوده‌اند [۱۶]، [۱۷].

در این مقاله با بهره‌گیری از پردازش داده‌های زمین‌شیمیایی عناصر فرعی و خاکی نادر از توده‌های نفوذی بارور و نابارور، معیارهای زمین‌شیمیایی برای تفکیک این توده‌ها آشکار شده و مورد تحلیل قرار گرفته است که می‌توانند در مرحله پی‌جویی و اکتشاف ناحیه‌ای در مناطق تحت اکتشاف مس پورفیری در ایران مورد توجه قرار گیرند.

مواد و روش‌ها

در راستای دستیابی به هدف فوق، تعداد ۳۷ نمونه نسبتاً سالم و یا با حداقل آثار هوازدگی و دگرسانی (بر پایه میزان $L.O.I. \leq 3\%$ و همچنین مشاهدات پتروگرافی از مجموع ۲۰۳ نمونه) و البته با ترکیب سنگ‌شناسی مشابه (دیوریت- کوارتز دیوریت- گرانودیوریت) مربوط به این دو تیپ توده نفوذی از گمانه‌های اکتشافی عمیق (تا ژرفای ۱۰۰۰ متری) و همچنین محل‌های برونزد این توده‌ها برداشت گردید. نمونه‌ها بعد از آماده‌سازی در کارگاه و آزمایشگاه‌های تحقیقاتی مجتمع مس سرچشمه برای انجام آنالیز شیمیایی عناصر اصلی، فرعی و خاکی نادر با فناوری‌های ICP-AES و ICP-MS توسط شرکت ALS Chemex در ونکوور کانادا ارسال شدند. آنالیزهای مذکور با حد تشخیص ۰/۰۱ درصد برای عناصر اصلی و ۰/۰۱ ppm برای عناصر فرعی و خاکی نادر با خطای کمتر از ۲٪ برای همه عناصر مذکور انجام پذیرفته است. در جدول ۱ مشخصات مربوط به نمونه‌های استفاده شده و در جدول ۲ نتایج آنالیز شیمیایی ۳۷ عدد نمونه ارائه شده است.

جدول ۱. خلاصه‌ای از ویژگی‌های مکانی، کانی‌شناسی و سنگ‌شناسی ۳۷ نمونه استفاده شده در این پژوهش

نام نمونه	موقعیت جغرافیایی نمونه	نوع نمونه و مکان نمونه‌برداری	تیب توده نفوذی و پاروژی یا تخلیروزی توده	بافت سنگ	ترکیب کانی‌شناسی (نرمه حجمی)	ترکیب سنگ‌شناسی
KPP	شمال ۲۳° ۴۸' ۱۳" شرقی ۵۶° ۳' ۸۷"	نمونه‌برداری از رخنمون توده نفوذی بارور در محل کانسار کوه بیخ (بارور)	تیب کوه بیخ (بارور)	پورفیری دانه‌ریز	پلاتیوکلس (۷۵٪ حجمی)، کوارتز (۱۰٪ حجمی)، هورنبلند (۵٪ حجمی)، بیوتیت (۳٪ حجمی)، فلدسپار پتاسیم (۲٪ حجمی)، بیروکسن (۲٪ حجمی)؛ بیروکسن‌ها لپتور بختی به اینوت و پلاتیوکلس‌ها لپتور صغیری به سرسیت تبدیل شده‌اند.	کوارتز دیوریت
RAMP	شمال ۲۳° ۵۸' ۰۹" شرقی ۵۷° ۴۳' ۴۳"	نمونه‌برداری از رخنمون توده نفوذی بارور در محل کانسار مین	تیب کوه بیخ (بارور)	پورفیری	پلاتیوکلس (۶۵٪ حجمی)، کوارتز (۱۵٪ حجمی)، هورنبلند (۵٪ حجمی)، بیوتیت (۳٪ حجمی)، فلدسپار پتاسیم (۱۰٪ حجمی)	گرانودیوریت
LZP	شمال ۲۳° ۲۳' ۶۶" شرقی ۵۶° ۵۸' ۲۹"	نمونه‌برداری از رخنمون توده نفوذی بارور در محل کانسار لاجران	تیب کوه بیخ (بارور)	پورفیری	پلاتیوکلس (۶۰٪ حجمی)، کوارتز (۱۵٪ حجمی)، هورنبلند (۵٪ حجمی)، بیوتیت (۳٪ حجمی)، فلدسپار پتاسیم (۱۰٪ حجمی)، بیروکسن (۲٪ حجمی)؛ بیروکسن‌ها لپتور بختی به اینوت تبدیل شده‌اند.	گرانودیوریت
IJP	شمال ۳۰° ۳۳' ۵۳" شرقی ۵۴° ۵۷' ۱۸"	نمونه‌برداری از مغزه‌های اکتفی کانسار ایبر	تیب کوه بیخ (بارور)	پورفیری دانه‌ریز	پلاتیوکلس (۷۰٪ حجمی)، کوارتز (۱۵٪ حجمی)، هورنبلند (۵٪ حجمی)، بیوتیت (۳٪ حجمی)، فلدسپار پتاسیم (۱۰٪ حجمی)، بیروکسن (۲٪ حجمی)؛ بیروکسن‌ها لپتور بختی به اینوت تبدیل شده‌اند.	کوارتز دیوریت
KDP	شمال ۳۰° ۳۶' ۲۳" شرقی ۵۵° ۴۵' ۱۲"	نمونه‌برداری از رخنمون توده نفوذی بارور در محل کانسار گر	تیب کوه بیخ (بارور)	پورفیری	پلاتیوکلس (۷۰٪ حجمی)، کوارتز (۲۰٪ حجمی)، هورنبلند (۵٪ حجمی)، بیوتیت (۱۰٪ حجمی)، فلدسپار پتاسیم (۱۰٪ حجمی)، بیروکسن‌ها لپتور صغیری به سرسیت تبدیل شده‌اند.	کوارتز دیوریت
AP	شمال ۳۰° ۱۶' ۳۳" شرقی ۵۵° ۱۵' ۰۲"	نمونه‌برداری از مغزه‌های اکتفی کانسار ایبر	تیب کوه بیخ (بارور)	پورفیری دانه‌ریز	پلاتیوکلس (۸۰٪ حجمی)، کوارتز (۱۰٪ حجمی)، هورنبلند (۳٪ حجمی)، بیوتیت (۳٪ حجمی)، فلدسپار پتاسیم (۱۰٪ حجمی)، بیروکسن (۲٪ حجمی)؛ بیروکسن‌ها لپتور صغیری به سرسیت تبدیل شده‌اند.	دیوریت - کوارتز دیوریت
GKP	شمال ۳۰° ۳۶' ۱۰" شرقی ۵۵° ۰۰' ۰۲"	نمونه‌برداری از رخنمون توده نفوذی بارور در محل کانسار گرنگلوری	تیب کوه بیخ (بارور)	پورفیری دانه‌ریز	پلاتیوکلس (۸۰٪ حجمی)، کوارتز (۱۵٪ حجمی)، هورنبلند (۵٪ حجمی)، بیوتیت (۳٪ حجمی)، بیروکسن (۱٪ حجمی)؛ بیروکسن‌ها لپتور بختی به اینوت و پلاتیوکلس‌ها لپتور صغیری به سرسیت تبدیل شده‌اند.	کوارتز دیوریت
SNP	شمال ۳۰° ۲۱' ۸۸" شرقی ۵۵° ۰۰' ۰۳"	نمونه‌برداری از رخنمون توده نفوذی بارور در محل کانسار سرنو	تیب کوه بیخ (بارور)	پورفیری دانه‌ریز	پلاتیوکلس (۸۵٪ حجمی)، کوارتز (۱۰٪ حجمی)، هورنبلند (۲٪ حجمی)، بیوتیت (۳٪ حجمی)، بیروکسن (۱٪ حجمی)؛ بیروکسن‌ها لپتور بختی به اینوت تبدیل شده‌اند.	دیوریت - کوارتز دیوریت
NP	شمال ۲۳° ۵۳' ۵۶" شرقی ۵۵° ۴۹' ۹۷"	نمونه‌برداری از مغزه‌های اکتفی کانسار نوچون	تیب کوه بیخ (بارور)	پورفیری دانه‌ریز	پلاتیوکلس (۷۵٪ حجمی)، کوارتز (۱۵٪ حجمی)، هورنبلند (۵٪ حجمی)، بیوتیت (۳٪ حجمی)، بیروکسن (۲٪ حجمی)؛ بیروکسن‌ها لپتور صغیری به سرسیت تبدیل شده‌اند.	دیوریت - کوارتز دیوریت
DAP	شمال ۲۳° ۲۷' ۱۴" شرقی ۵۷° ۰۷' ۱۲"	نمونه‌برداری از مغزه‌های اکتفی کانسار درانو	تیب کوه بیخ (بارور)	پورفیری	پلاتیوکلس (۶۰٪ حجمی)، کوارتز (۱۵٪ حجمی)، هورنبلند (۵٪ حجمی)، بیوتیت (۳٪ حجمی)، فلدسپار پتاسیم (۱۵٪ حجمی)؛ پلاتیوکلس‌ها لپتور صغیری به سرسیت تبدیل شده‌اند.	گرانودیوریت
SKP	شمال ۲۳° ۵۵' ۱۵" شرقی ۵۵° ۴۶' ۵۴"	نمونه‌برداری از مغزه‌های اکتفی کانسار سرکه	تیب کوه بیخ (بارور)	پورفیری	پلاتیوکلس (۶۵٪ حجمی)، کوارتز (۱۵٪ حجمی)، هورنبلند (۵٪ حجمی)، بیوتیت (۳٪ حجمی)، فلدسپار پتاسیم (۲۵٪ حجمی)، بیروکسن (۲٪ حجمی)؛ هورنبلندها به بیوتیت و کربت و بیوتیتها به کربت تبدیل شده‌اند.	گرانودیوریت
DZP	شمال ۲۳° ۵۲' ۰۵" شرقی ۵۵° ۵۳' ۱۲"	نمونه‌برداری از مغزه‌های اکتفی کانسار دره زان	تیب کوه بیخ (بارور)	پورفیری	پلاتیوکلس (۵۵٪ حجمی)، کوارتز (۳۰٪ حجمی)، هورنبلند (۱۰٪ حجمی)، بیوتیت (۳٪ حجمی)، فلدسپار پتاسیم (۱۰٪ حجمی)؛ بیوتیتها لپتور صغیری به کربت و پلاتیوکلس‌ها لپتور صغیری به فلدسپار پتاسیم تبدیل شده‌اند.	گرانودیوریت
MP	شمال ۳۰° ۲۲' ۲۴" شرقی ۵۵° ۱۲' ۲۹"	نمونه‌برداری از مغزه‌های اکتفی کانسار مینوکه	تیب کوه بیخ (بارور)	پورفیری	پلاتیوکلس (۸۰٪ حجمی)، کوارتز (۲۰٪ حجمی)، هورنبلند (۵٪ حجمی)، بیوتیت (۳٪ حجمی)، فلدسپار پتاسیم (۱۰٪ حجمی)؛ بیوتیتها لپتور صغیری به کربت و پلاتیوکلس‌ها لپتور صغیری به فلدسپار پتاسیم و اینوت تبدیل شده‌اند.	کوارتز دیوریت
SCP	شمال ۲۳° ۵۶' ۴۸" شرقی ۵۵° ۵۲' ۵۸"	نمونه‌برداری از مغزه‌های اکتفی کانسار سرکومه	تیب کوه بیخ (بارور)	پورفیری	پلاتیوکلس (۸۵٪ حجمی)، کوارتز (۲۰٪ حجمی)، هورنبلند (۵٪ حجمی)، بیوتیت (۳٪ حجمی)، فلدسپار پتاسیم (۱۵٪ حجمی)؛ بیوتیتها لپتور صغیری به کربت و پلاتیوکلس‌ها لپتور صغیری به فلدسپار پتاسیم و اینوت تبدیل شده‌اند.	گرانودیوریت

جدول ۱.

نام نمونه	موقعیت جغرافیایی نمونه	نوع نمونه و مکان نمونه برداری	تیب نمونه نفوذی و پارویری یا تالارویری نوده	بافت سنگ	ترکیب کانی شناسی (برصد حجمی)	ترکیب سنگ شناسی
SP	شمال ۳۰° ۳۳' ۵۲" شرقی ۵۵° ۰۸' ۲۹"	نمونه برداری از مغزه‌های اکتشافی کنسار سارا	تیپ کوه پنج (پارویری)	یورانی دانه‌ریز	پلازیوکلاز (۷۵٪ حجمی)، کوارتز (۲۰٪ حجمی)، هورنبلند (۳٪ حجمی)، بیوتیت (۵.۳٪ حجمی)، بیروگن (۱٪ حجمی) -۱	دیوریت کوارتز دیوریت
GCH-1	شمال ۲۴° ۲۴' ۲۲" شرقی ۵۶° ۱۲' ۱۱"	نمونه برداری از رخنمون توده نفوذی چنار گلک	تیپ چنار بارز (پارویری)	همسان دانه	پلازیوکلاز (۸۰٪ حجمی)، کوارتز (۱۰٪ حجمی)، هورنبلند (۳٪ حجمی)، بیوتیت (۵٪ حجمی)، فلدسپار پتاسیم (۱٪ حجمی)، بیروگن (۱٪ حجمی)، پلازیوکلاز ها لیمونر ضعیفی به سرسپت تبدیل شده‌اند.	کوارتز دیوریت
GCH-4	شمال ۲۴° ۲۴' ۲۲" شرقی ۵۶° ۱۵' ۱۷"	نمونه برداری از رخنمون توده نفوذی چنار گلک، چنار گلک	تیپ چنار بارز (پارویری)	همسان دانه	پلازیوکلاز (۷۵٪ حجمی)، کوارتز (۲۰٪ حجمی)، بیوتیت (۳٪ حجمی)، فلدسپار پتاسیم (۱٪ حجمی)، بیروگن (۳٪ حجمی).	کوارتز دیوریت
GCH-5	شمال ۲۴° ۲۴' ۲۲" شرقی ۵۶° ۱۵' ۲۹"	نمونه برداری از رخنمون توده نفوذی چنار گلک در محل چنار گلک	تیپ چنار بارز (پارویری)	همسان دانه	پلازیوکلاز (۶۰٪ حجمی)، کوارتز (۲۰٪ حجمی)، بیوتیت (۲٪ حجمی)، فلدسپار پتاسیم (۱٪ حجمی)، بیروگن (۳٪ حجمی).	گر انودیوریت
GCH-16	شمال ۲۴° ۲۴' ۲۲" شرقی ۵۶° ۱۱' ۰۷"	نمونه برداری از رخنمون توده نفوذی زردون، چنار گلک	تیپ چنار بارز (پارویری)	همسان دانه	پلازیوکلاز (۶۰٪ حجمی)، کوارتز (۲۰٪ حجمی)، بیوتیت (۲٪ حجمی)، فلدسپار پتاسیم (۱٪ حجمی)، بیروگن (۳٪ حجمی).	گر انودیوریت
GCH-19	شمال ۲۴° ۲۴' ۲۲" شرقی ۵۶° ۰۹' ۳۶"	نمونه برداری از رخنمون توده نفوذی زردون در محل چنار گلک	تیپ چنار بارز (پارویری)	همسان دانه	پلازیوکلاز (۷۵٪ حجمی)، کوارتز (۱۰٪ حجمی)، بیوتیت (۲٪ حجمی)، فلدسپار پتاسیم (۱٪ حجمی)، بیروگن (۳.۱٪ حجمی).	دیوریت کوارتز دیوریت
GCH-25	شمال ۲۴° ۲۴' ۲۲" شرقی ۵۶° ۱۹' ۰۵"	نمونه برداری از رخنمون توده نفوذی چنار گلک، چنار گلک	تیپ چنار بارز (پارویری)	همسان دانه	پلازیوکلاز (۷۵٪ حجمی)، کوارتز (۱۰٪ حجمی)، بیوتیت (۲٪ حجمی)، فلدسپار پتاسیم (۱٪ حجمی)، بیروگن (۳٪ حجمی).	گر انودیوریت
GSH-2	شمال ۳۰° ۱۲' ۸۹" شرقی ۵۵° ۲۷' ۵۹"	نمونه برداری از رخنمون توده نفوذی چنار گلک، شمال شرقی شهربانک	تیپ چنار بارز (پارویری)	همسان دانه	پلازیوکلاز (۴۵٪ حجمی)، کوارتز (۲۵٪ حجمی)، هورنبلند (۳٪ حجمی)، بیوتیت (۱٪ حجمی)، فلدسپار پتاسیم (۱٪ حجمی)، بیروگن (۵٪ حجمی).	گر انودیوریت
GSV-3	شمال ۲۸° ۴۸' ۱۰" شرقی ۵۷° ۴۸' ۱۳"	نمونه برداری از رخنمون توده نفوذی سازه واران، شمال شرقی	تیپ چنار بارز (پارویری)	همسان دانه	پلازیوکلاز (۵۵٪ حجمی)، کوارتز (۲۰٪ حجمی)، هورنبلند (۵٪ حجمی)، بیوتیت (۵٪ حجمی)، فلدسپار پتاسیم (۱٪ حجمی)، بیروگن (۵٪ حجمی).	گر انودیوریت
GSV-5	شمال ۲۸° ۵۰' ۳۳" شرقی ۵۷° ۵۱' ۷۱"	نمونه برداری از رخنمون توده نفوذی چنار بارز، شرقی حیرفت	تیپ چنار بارز (پارویری)	همسان دانه	پلازیوکلاز (۴۰٪ حجمی)، کوارتز (۲۰٪ حجمی)، بیوتیت (۲٪ حجمی)، فلدسپار پتاسیم (۱٪ حجمی)، بیروگن (۵٪ حجمی).	گر انودیوریت
GSV-6	شمال ۲۸° ۴۰' ۶۹" شرقی ۵۷° ۳۳' ۵۵"	نمونه برداری از رخنمون توده نفوذی حویلی، جنوب حیرفت	تیپ چنار بارز (پارویری)	همسان دانه	پلازیوکلاز (۶۰٪ حجمی)، کوارتز (۲۰٪ حجمی)، بیوتیت (۳٪ حجمی)، فلدسپار پتاسیم (۱٪ حجمی)، بیروگن (۵٪ حجمی).	گر انودیوریت
GKK-2	شمال ۲۴° ۰۵' ۹۰" شرقی ۵۷° ۳۵' ۴۱"	نمونه برداری از رخنمون توده نفوذی سریزان، خانه خانقون	تیپ چنار بارز (پارویری)	همسان دانه	پلازیوکلاز (۷۰٪ حجمی)، کوارتز (۲۰٪ حجمی)، بیوتیت (۳٪ حجمی)، فلدسپار پتاسیم (۱٪ حجمی)، بیروگن (۳.۱٪ حجمی).	دیوریت کوارتز دیوریت
GKK-4	شمال ۲۴° ۰۸' ۸۶" شرقی ۵۷° ۵۵' ۵۴"	نمونه برداری از رخنمون توده نفوذی سریزان	تیپ چنار بارز (پارویری)	همسان دانه	پلازیوکلاز (۷۵٪ حجمی)، کوارتز (۱۵٪ حجمی)، بیوتیت (۲٪ حجمی)، فلدسپار پتاسیم (۱٪ حجمی)، بیروگن (۳٪ حجمی).	گر انودیوریت
GKK-7	شمال ۲۴° ۰۳' ۹۰" شرقی ۵۷° ۳۵' ۲۱"	نمونه برداری از رخنمون توده نفوذی سریزان، خانه خانقون	تیپ چنار بارز (پارویری)	همسان دانه	پلازیوکلاز (۴۰٪ حجمی)، کوارتز (۵۰٪ حجمی)، بیوتیت (۲٪ حجمی)، فلدسپار پتاسیم (۱٪ حجمی)، بیروگن (۳٪ حجمی).	گر انودیوریت
GSD-6	شمال ۲۴° ۲۲' ۲۵" شرقی ۵۷° ۱۳' ۲۰"	نمونه برداری از رخنمون توده نفوذی هنرا، شمال ساروپیله	تیپ چنار بارز (پارویری)	همسان دانه	پلازیوکلاز (۸۰٪ حجمی)، کوارتز (۱۰٪ حجمی)، بیوتیت (۳٪ حجمی)، فلدسپار پتاسیم (۱٪ حجمی)، بیروگن (۳٪ حجمی).	دیوریت کوارتز دیوریت

جدول ۱.

ترکیب سنگ‌شنسی	ترکیب کانی‌شنسی (برصد حجمی)	پافت سنگ	تیب توده نفوذی و باروری یا تیلوری توده	مکان نمونه‌برداری	نوع نمونه و مکان نمونه‌برداری	موقعیت جغرافیایی نمونه	نام نمونه
نیوریت-گر ارتکز نیوریت	نیوریت (۵۳٪ حجمی)، فلدسپار پتاسیم (۳٪ حجمی)، کوارتز (۵٪ حجمی)، هورنبلند (۴٪ حجمی)، بیوتیت (۳٪ حجمی)، پیروکسن (۳٪ حجمی)، پلاتیوکلاز (۵٪ حجمی)	هسان دانه	تیب جیل بارز (تیلور)	نمونه برداری از رخنمون توده تفوذی تحت سرشاخه، شمال ساروییه	تفوذی ۲۴ ۲۰ ۱۲" شمال ۵۴ ۱۵ ۱۰" شرق	شمال ۲۴ ۲۰ ۱۲" شرق ۵۴ ۱۵ ۱۰"	GSD- 10
نیوریت-گر ارتکز نیوریت	نیوریت (۵۳٪ حجمی)، فلدسپار پتاسیم (۳٪ حجمی)، کوارتز (۵٪ حجمی)، هورنبلند (۵٪ حجمی)، بیوتیت (۳٪ حجمی)، پیروکسن (۵٪ حجمی)، پلاتیوکلاز (۵٪ حجمی)	هسان دانه	تیب جیل بارز (تیلور)	نمونه برداری از رخنمون توده تفوذی سرشاخه، شمال ساروییه	تفوذی ۲۴ ۲۳ ۲۳" شمال ۵۴ ۱۵ ۸۹" شرق	شمال ۲۴ ۲۳ ۲۳" شرق ۵۴ ۱۵ ۸۹"	GSD- 14
گر ارتکز نیوریت	نیوریت (۴۰٪ حجمی)، پیروکسن (۲٪ حجمی)، کوارتز (۲۵٪ حجمی)، هورنبلند (۱٪ حجمی)، بیوتیت (۲٪ حجمی)، فلدسپار پتاسیم (۱۰٪ حجمی)	هسان دانه	تیب جیل بارز (تیلور)	نمونه برداری از رخنمون توده تفوذی سوزن، ناخیه پاریز سیرجان	تفوذی ۲۴ ۵۳ ۲۹" شمال ۵۴ ۴۵ ۰۰" شرق	شمال ۲۴ ۵۳ ۲۹" شرق ۵۴ ۴۵ ۰۰"	GPZ- 3
گر ارتکز نیوریت- کوارتز مونوکلین	نیوریت (۵۰٪ حجمی)، پیروکسن (۲٪ حجمی)، کوارتز (۲۰٪ حجمی)، هورنبلند (۵٪ حجمی)، بیوتیت (۲٪ حجمی)، فلدسپار پتاسیم (۱۰٪ حجمی)	هسان دانه	تیب جیل بارز (تیلور)	نمونه برداری از رخنمون توده تفوذی حین آباد، ناخیه پاریز سیرجان	تفوذی ۲۴ ۴۶ ۲۰" شمال ۵۴ ۵۸ ۴۰" شرق	شمال ۲۴ ۴۶ ۲۰" شرق ۵۴ ۵۸ ۴۰"	GPZ- 6
نیوریت-گر ارتکز نیوریت	نیوریت (۶۵٪ حجمی)، پیروکسن (۶٪ حجمی)، کوارتز (۲۰٪ حجمی)، هورنبلند (۵٪ حجمی)، بیوتیت (۳٪ حجمی)، فلدسپار پتاسیم (۴٪ حجمی)	هسان دانه	تیب جیل بارز (تیلور)	نمونه برداری از رخنمون توده تفوذی از چتر، ناخیه پاریز سیرجان	تفوذی ۲۴ ۵۶ ۱۲" شمال ۵۴ ۴۶ ۸۰" شرق	شمال ۲۴ ۵۶ ۱۲" شرق ۵۴ ۴۶ ۸۰"	GPZ- 11
نیوریت-گر ارتکز نیوریت	نیوریت (۸۰٪ حجمی)، پیروکسن (۵٪ حجمی)، کوارتز (۱۰٪ حجمی)، هورنبلند (۲٪ حجمی)، بیوتیت (۱٪ حجمی)، فلدسپار پتاسیم (۱۰٪ حجمی)	هسان دانه	تیب جیل بارز (تیلور)	نمونه برداری از رخنمون توده تفوذی سوزن، ناخیه پاریز سیرجان	تفوذی ۲۴ ۵۶ ۲۰" شمال ۵۴ ۴۸ ۴۰" شرق	شمال ۲۴ ۵۶ ۲۰" شرق ۵۴ ۴۸ ۴۰"	GPZ- 13
نیوریت	نیوریت (۸۵٪ حجمی)، پیروکسن (۵٪ حجمی)، کوارتز (۱۰٪ حجمی)، هورنبلند (۵٪ حجمی)، بیوتیت (۲٪ حجمی)، فلدسپار پتاسیم (۳٪ حجمی)	هسان دانه	تیب جیل بارز (تیلور)	نمونه برداری از رخنمون توده تفوذی سوزن، ناخیه پاریز سیرجان	تفوذی ۲۴ ۴۹ ۲۳" شمال ۵۴ ۰۸ ۳۱" شرق	شمال ۲۴ ۴۹ ۲۳" شرق ۵۴ ۰۸ ۳۱"	GPZ- 14
گر ارتکز نیوریت- کوارتز مونوکلین	نیوریت (۴۵٪ حجمی)، پیروکسن (۲٪ حجمی)، کوارتز (۲۰٪ حجمی)، هورنبلند (۲٪ حجمی)، بیوتیت (۱٪ حجمی)، فلدسپار پتاسیم (۲۰٪ حجمی)	هسان دانه	تیب جیل بارز (تیلور)	نمونه برداری از رخنمون توده تفوذی سوزن، ناخیه پاریز سیرجان	تفوذی ۲۴ ۵۰ ۵۶" شمال ۵۴ ۴۵ ۹۲" شرق	شمال ۲۴ ۵۰ ۵۶" شرق ۵۴ ۴۵ ۹۲"	GPZ- 30

جدول ۲. نتایج تجزیه شیمیایی عناصر اصلی، فرعی و نادر خاکی در ۳۷ عدد نمونه استفاده شده پژوهش حاضر

Sample	AP	DAP	DZP	GKP	IJP	KDP	KPP	LZP	MP	NP	RAMP	SCP	SKP	SNP	SP	GCH-1	GCH-4	GCH-5	GCH-16
SiO ₂	60.81	64.30	65.32	60.89	63.03	62.50	62.85	64.31	64.04	60.23	64.30	64.57	65.52	61.96	62.93	62.62	64.72	64.76	59.33
TiO ₂	0.59	0.48	0.51	0.54	0.53	0.40	0.41	0.33	0.71	0.68	0.44	0.59	0.52	0.51	0.43	0.52	0.48	0.47	0.76
Al ₂ O ₃	17.71	16.10	16.73	17.00	17.50	17.85	17.25	16.21	16.72	17.89	16.90	17.36	16.65	17.70	17.15	16.85	16.23	15.85	15.88
Fe ₂ O ₃	1.26	1.98	1.21	1.04	2.03	1.94	1.91	1.10	1.15	1.32	1.14	1.16	1.07	1.16	1.53	2.02	1.98	1.97	2.29
FeO	2.29	2.87	2.13	2.52	2.18	1.74	2.04	2.26	2.30	1.86	2.01	2.02	1.79	2.26	2.12	3.35	1.35	2.11	3.59
MnO	0.04	0.04	0.05	0.07	0.07	0.06	0.08	0.15	0.03	0.26	0.09	0.02	0.02	0.06	0.07	0.09	0.10	0.12	0.13
MgO	3.02	3.08	2.22	2.97	2.98	2.38	2.82	2.32	2.51	3.08	1.98	2.29	2.27	2.92	2.52	4.79	2.86	3.09	4.97
CaO	3.79	4.15	2.53	5.31	3.41	3.16	5.92	5.04	3.30	4.19	3.77	4.32	3.33	5.11	4.86	4.59	4.31	4.46	6.39
Na ₂ O	4.52	3.64	3.97	3.75	4.72	4.83	3.49	3.87	3.82	4.52	3.68	3.96	3.79	3.90	3.93	3.58	3.68	3.49	3.29
K ₂ O	2.32	1.18	1.45	1.46	2.43	2.08	1.61	1.52	2.91	1.99	2.81	2.06	2.17	1.23	1.14	0.46	2.21	2.11	1.71
P ₂ O ₅	0.35	0.20	0.17	0.24	0.22	0.19	0.23	0.26	0.11	0.49	0.13	0.21	0.24	0.18	0.17	0.11	0.11	0.07	0.17
L.O.I.	2.87	2.87	3.08	2.90	2.39	2.92	2.29	2.70	3.19	2.93	2.16	3.04	2.81	2.68	2.88	2.01	1.71	1.06	2.36
Total	99.57	100.89	99.37	98.69	101.49	100.05	100.79	100.79	99.44	99.44	101.60	100.18	99.67	99.73	100.99	99.74	99.56	100.87	
Ba	529	630	865	602	686	681	639	349	689	659	446	736	663	606	744	178	310	309	308
Rb	99	88	92	89	93	96	89	87	94	84	76	100	92	98	85	114	180	182	157
Sr	554	514	498	622	979	939	779	779	885	894	408	700	865	957	1015	460	317	310	350
Y	5	13	7	16	10	9	8	18	12	11	12	11	11	9	9	14	13	14	24
Zr	41	53	49	54	70	46	65	75	62	73	62	59	69	63	70	118	104	135	119
Nb	13	11	10	12	12	12	12	11	13	12	11	14	12	13	11	5	4	4	3
Th	4.43	13.75	17.20	9.67	6.63	7.40	8.69	6.52	15.40	8.75	12.10	35.00	17.55	4.38	7.79	8.31	7.59	7.22	5.18
Pb	16	24	14	8	14	11	26	10	16	16	57	34	8	15	16	8	12	9	73
Ni	18	22	22	21	14	12	30	15	16	15	19	20	26	14	22	36	58	67	48
Cr	20	38	35	31	30	31	53	25	28	22	23	53	35	23	26	30	32	41	36
Hf	2.90	3.10	3.22	3.70	3.54	3.36	3.22	3.30	3.32	3.01	3.80	3.21	3.50	3.20	2.80	3.44	3.11	3.70	3.51
Cs	3.82	1.38	3.18	0.92	0.97	1.31	3.10	1.32	1.06	1.02	3.21	2.02	3.16	1.71	1.28	4.41	2.65	2.56	1.22
Ta	0.61	0.72	0.80	0.62	0.80	0.65	0.71	0.63	0.80	0.51	0.60	0.42	0.70	0.61	0.63	0.60	0.51	0.52	0.41
La	19.10	26.61	26.03	29.90	28.50	21.60	30.90	30.10	39.03	23.91	22.53	33.20	29.90	20.30	33.30	16.62	13.41	13.52	13.90
Ce	35.90	47.72	40.90	52.70	51.74	38.80	56.81	63.20	68.40	41.60	43.72	55.90	52.70	39.70	55.70	31.22	25.30	25.51	30.33
Pr	4.11	5.51	3.83	6.18	6.10	4.63	6.66	7.64	7.48	4.93	4.94	7.05	6.18	4.57	6.33	3.67	3.04	3.11	4.07
Nd	15.02	20.43	11.60	23.54	23.11	17.20	23.50	28.50	24.80	18.05	18.00	21.70	23.50	17.40	23.00	13.80	11.40	11.61	16.72
Sm	2.52	2.84	1.76	3.32	3.02	3.08	2.79	4.36	4.01	3.38	3.18	3.02	3.32	3.57	3.38	2.76	2.38	2.52	4.02
Eu	0.91	0.98	0.66	1.14	0.96	0.99	0.89	1.35	1.42	1.07	0.99	1.19	1.14	0.97	1.16	0.77	0.74	0.79	1.16
Gd	1.95	2.38	1.60	2.80	2.27	2.64	2.04	3.93	3.52	2.86	2.81	3.07	2.80	2.55	3.19	2.62	2.35	2.42	4.02
Tb	0.25	0.45	0.30	0.51	0.39	0.34	0.34	0.57	0.49	0.38	0.41	0.39	0.51	0.34	0.41	0.38	0.35	0.37	0.62
Dy	1.09	2.40	1.38	2.92	1.92	1.74	1.72	2.82	2.28	2.03	2.07	1.98	2.72	1.62	2.10	2.49	2.30	2.45	4.21
Ho	0.16	0.45	0.33	0.53	0.33	0.31	0.32	0.57	0.43	0.38	0.40	0.31	0.33	0.32	0.37	0.52	0.48	0.48	0.89
Er	0.50	1.29	0.98	1.66	1.02	0.91	0.90	1.53	1.28	1.10	1.26	1.03	1.09	0.87	1.13	1.49	1.42	1.54	2.66
Tm	0.07	0.19	0.15	0.24	0.14	0.13	0.12	0.20	0.16	0.16	0.17	0.16	0.17	0.12	0.16	0.25	0.23	0.24	0.43
Yb	0.36	1.26	0.83	1.54	0.85	0.81	0.81	1.46	1.06	0.99	1.18	1.01	1.14	0.71	1.04	1.51	1.50	1.66	2.66
Lu	0.05	0.19	0.15	0.23	0.13	0.12	0.13	0.22	0.17	0.15	0.17	0.14	0.13	0.12	0.15	0.25	0.26	0.26	0.44

Sample	GCH-19	GCH-25	GS2-2	GSV-3	GSV-5	GSV-6	GKK-2	GKK-4	GKK-7	GSD-6	GSD-10	GSD-14	GPZ-3	GPZ-6	GPZ-11	GPZ-13	GPZ-14	GPZ-30
SiO ₂	60.37	65.31	60.47	65.72	66.78	66.50	59.53	64.81	64.33	60.09	61.14	60.03	65.81	61.02	60.12	59.81	60.23	65.60
TiO ₂	0.82	0.42	0.98	0.50	0.31	0.43	0.61	0.44	0.54	0.76	0.63	0.74	0.44	0.74	0.53	0.48	0.48	0.45
Al ₂ O ₃	16.25	15.45	17.30	15.20	16.11	14.75	16.65	15.25	15.85	15.85	16.25	17.11	15.66	16.42	17.01	17.13	17.25	16.45
Fe ₂ O ₃	2.32	1.90	1.15	2.21	1.18	1.93	2.11	1.94	2.04	2.26	1.63	2.24	0.92	1.24	2.03	1.98	1.98	1.95
FeO	3.71	1.77	3.58	1.96	1.87	1.83	3.27	2.23	2.37	3.18	3.03	1.93	1.98	3.08	2.36	2.12	2.68	2.33
MnO	0.11	0.08	0.11	0.05	0.09	0.07	0.14	0.13	0.18	0.10	0.08	0.14	0.04	0.13	0.14	0.11	0.11	0.13
MgO	4.04	2.93	4.51	3.06	2.12	3.13	4.72	3.66	2.98	3.96	4.55	4.86	2.72	4.87	4.78	4.74	4.75	2.48
CaO	5.73	4.24	5.82	2.84	4.22	3.07	6.21	3.93	4.56	5.82	5.56	6.81	4.23	5.93	6.15	5.65	5.82	3.11
Na ₂ O	3.40	3.03	3.83	4.22	3.67	3.68	2.85	3.32	3.39	3.75	3.26	3.36	3.61	3.32	3.34	3.19	3.47	3.16
K ₂ O	1.93	2.96	2.36	3.99	2.12	3.66	1.28	2.49	2.29	1.36	1.40	1.15	1.37	2.35	1.78	1.72	1.48	2.58
P ₂ O ₅	0.17	0.14	0.14	0.16	0.07	0.11	0.12	0.11	0.11	0.18	0.11	0.23	0.06	0.09	0.18	0.14	0.19	0.08
L.O.I.	2.23	1.92	0.80	1.17	1.19	1.08	1.64	1.52	0.85	2.33	1.77	1.56	2.22	1.34	2.41	2.27	1.08	1.07
Total	101.08	100.15	101.05	101.08	99.73	100.24	99.13	99.83	99.49	99.64	99.41	100.16	99.06	100.53	100.83	99.34	99.52	99.39
Ba	251	769	614	562	374	457	198	375	326	191	227	339	135	377	504	484	412	503
Rb	108	99	93	128	198	132	148	94	172	157	86	139	129	111	163	96	98	112
Sr	307	395	431	302	269	252	298	270	277	238	308	370	340	271	576	458	474	184
Y	29	17	21	25	12	23	16	21	24	29	15	21	24	24	17	18	20	28
Zr	175	150	139	248	91	209	78	157	148	109	106	95	168	135	105	98	108	229
Nb	5	6	4	9	3	8	3	5	5	4	3	3	3	3	4	3	3	5
Th	8.55	12.51	5.29	12.65	4.71	12.45	2.97	6.75	5.16	2.29	4.03	2.06	4.36	4.41	7.82	4.91	4.21	7.98
Pb	14	15	13	8	8	14	5	6	8	5	5	5	7	10	18	6	6	11
Ni	52	54	60	61	83	97	69	70	57	97	91	89	55	79	73	68	98	62
Cr	34	41	33	49	71	68	57	37	36	62	49	68	46	41	55	45	69	39
Hf	5.10	4.32	3.90	6.44	2.49	5.61	2.36	4.32	4.16	3.04	3.17	2.60	5.11	4.16	3.21	2.80	3.06	6.90
Cs	9.52	2.21	1.77	1.32	2.89	2.26	3.83	5.76	4.23	2.52	0.39	0.65	0.62	2.26	2.25	2.73	2.69	2.76
Ta	0.40	0.50	0.43	0.72	0.35	0.74	0.32	0.52	0.42	0.44	0.45	0.33	0.40	0.31	0.36	0.34	0.32	0.54
La	16.11	28.80	15.81	22.25	11.03	20.14	6.53	13.02	15.62	10.80	12.22	10.03	6.90	9.71	22.02	21.71	17.52	14.40
Ce	35.90	52.00	31.01															

زمین‌شناسی ناحیه‌ای کمربند مس پورفیری کرمان

از لحاظ زمین‌شناسی ناحیه‌ای، کمربند مس پورفیری کرمان بر مجموعه آتشفشانی-نفوذی مشهور به کمربند دهج- ساردویی [۱۸] منطبق است که در حقیقت این کمربند بخش جنوب شرقی کمان ماگمایی ارومیه-دختر است. کمربند دهج- ساردویی با درازای تقریبی ۵۰۰ کیلومتر و پهنای تقریبی ۸۰ کیلومتر با روند شمال غرب- جنوب‌شرق بر حاشیه جنوبی خُرد قاره ایران مرکزی (بلوک سه گانه یزد- طبس- لوت) واقع گردیده است (شکل ۱. الف). از نظر ساختاری بخش عمده کمان ماگمایی سنوزوییک کرمان به‌ویژه از نواحی شمال غرب تا مرکز محصور بین دو سیستم گسله اصلی معکوس با مؤلفه امتداد لغز راست‌گرد [۱۹] و دارای روند شمال غرب- جنوب شرق به‌نام‌های گسل رفسنجان در حاشیه شمالی و گسل نابین- بافت در حاشیه جنوبی است (شکل ۱ ب). این کمان به نظر می‌رسد از شرق منطقه ساردویی به‌طرف جنوب خاوری با یک گسل امتداد لغز با روند تقریباً شمالی- جنوبی از روند غالب شمال غرب- جنوب شرق خود منحرف شده است و به‌طرف جنوب خاوری با روند شمال، شمال غرب- جنوب، جنوب شرق توسعه پیدا کرده است. در بخش جنوب خاوری، این مجموعه ماگمایی نیز بین دو سیستم گسله معکوس با مؤلفه امتداد لغز راست‌گرد [۱۹] به‌نام گسل سروستان (به‌عنوان ادامه احتمالی گسل نابین) در حاشیه شمالی و گسل سربیزان در حاشیه جنوبی محصور شده است (شکل ۱ ب).

به لحاظ تشکیلات سنگی در کمربند مس پورفیری کرمان (شکل ۱. ب)، سنگ‌های ایوسن و ابتدای الیگوسن مهم‌ترین و گسترده‌ترین واحدهای زمین‌شناسی را به‌خود اختصاص داده‌اند و شامل سنگ‌های رسوبی پالیوسن- ایوسن آغازین با رخساره فلیشی، توالی آتشفشانی- رسوبی ایوسن آغازین- میانی (مجموعه بحرآسمان) با سرشت شبه تولییتی- کالک آکالین معمولی [۲۰]، [۲۱]، سنگ‌های رسوبی با رخساره فلیشی ایوسن میانی، توالی‌های آتشفشانی- رسوبی ایوسن میانی- پایانی (مجموعه رازک) با سرشت کالک آکالین غالب و سنگ‌های آتشفشانی ایوسن پایانی- الیگوسن میانی (مجموعه هزار) با سرشت شوشونیتی هستند [۱۳]، [۲۱]. تشکیل و نفوذ توده‌های گرانیتویدی عمیق (تیپ جبال بارز) در اواسط ایوسن تا الیگوسن با سرشت کالک آکالین معمولی [۲۲]، رسوب‌گذاری تشکیلات قرمز زیرین، قم و قرمز فوقانی به سن الیگو- میوسن، تشکیل و نفوذ توده‌های گرانیتویدی کم ژرفا (تیپ کوه‌پنج) در میوسن میانی- پایانی و واحدهای سابولکانیک تیپ دهج به‌همراه فوران‌های محدود آندزیتی، داسیتی، ریوداسیتی و ریولیتی از تیپ مزاحم و آج در میوسن پایانی- پلیوسن همگی با سرشت آداکیتی [۱۷]، نهشته‌های ضخیم تخریبی پلیوسن، و نهایتاً جریان‌های گدازه‌ای آکالی بازالت این کمان را در طی ۶۰ میلیون سال دوران سنوزوییک شکل داده‌اند.

ماگماتیسیم نفوذی و کانی‌سازی مس پورفیری در کمربند دهج- ساردویی

ماگماتیسیم در زمان شکل‌گیری کمان ماگمایی سنوزوییک کرمان (دوره ایوسن) غالباً به‌صورت فعالیت‌های آتشفشانی بوده است به‌گونه‌ای که در مدت زمان ایوسن بالغ بر ۶۶۰۰۰ کیلومتر مکعب سنگ آتشفشانی به شکل

گدازه و مواد آذرآواری کمان ماگمایی سنوزوییک کرمان را بنیان نهادند [۱۸]؛ لیکن وجود توده‌های نفوذی در مجموعه‌های ذکر شده با روابط صحرائی نسبتاً مشخص مانند سطوح تماس [۱۹]، [۲۰]، [۲۳] و داده‌های ایزوتوپی [۱۳]، [۱۴]، [۲۳]، [۲۴]، نشانه‌هایی از آغاز شدن فعالیت‌های آذرین نفوذی در این کمان از زمان ایوسن میانی- بالایی است. هر چند که دیمپتری‌جواس^۱ [۱۸] آغاز فعالیت‌های ماگمایی نفوذی را با جای‌گزینی توده‌های نفوذی تیپ جبال بارز به الیگو- میوسن نسبت داده است لیکن در برخی از نواحی کمان (جنوب ساردوییه و جبال بارز) پوشیده شدن توده‌های گرانودیوریتی- گرانیتی تیپ جبال بارز با افق‌های رسوبی- تخریبی ایوسن پایانی و همچنین نفوذ توده‌هایی از همین تیپ و با همین ترکیب تا سطوح میانی چینه‌شناسی مجموعه بحرآسمان (ایوسن آغازین- میانی) در جنوب غربی خانه‌خاتون همگی می‌توانند نشانه‌هایی از شروع ماگماتیسم نفوذی در زمان ایوسن میانی- فوقانی و اندکی بعد از آغاز شدن فعالیت‌های آتشفشانی در کمان باشد [۲۳]. فعالیت‌های آذرین نفوذی با سطح جای‌گزینی عمیق که از این زمان در کمان ماگمایی آغاز گردیده بود با شدت زیاد در اکثر نواحی کمان (جبال بارز، سبزه واران، ساردوییه، بافت، چهارگنبد، رفسنجان، بردسیر، پاریز) همراه با فعالیت‌های آتشفشانی ایوسن میانی- پایانی و الیگوسن میانی (مجموعه هزار) و حتی بعد از به خاموشی گراییدن فعالیت‌های آتشفشانی (الیگوسن میانی) تا پایان الیگوسن ادامه پیدا کرد و در نتیجه گستره‌ای خطی از توده‌های آذرین نفوذی عمیق بر مناطق از پیش داغ شده (عمدتاً منطبق بر مجموعه‌های آذرین بحرآسمان و رازک) در نواحی جنوب خاوری تا مرکزی کمان ماگمایی شکل گرفت [۲۱] (شکل ۱. ب). توده‌های آذرین نفوذی تیپ جبال بارز به‌عنوان توده‌های نابارور، عمدتاً واجد بافت همسان دانه است و از طیف سنگ‌شناسی گسترده‌ای (از گابرو تا گرانیت) برخوردارند. فعالیت‌های گسترده آذرین نفوذی در کمان بعد از یک وقفه ۱۰ میلیون ساله، در دوره میوسن میانی تا پایانی [۱۲]، [۱۳]، [۱۴]، [۲۴]، [۲۵]، جای خود را به توده‌های گرانیتیویدی و در اندازه استوک و کوچک‌تری داد که تا سطوح کم عمق پوسته نفوذ کردند و عمدتاً در بخش‌های مرکزی و شمال باختری کمان جای‌گزین شدند و بدین ترتیب توده‌های گرانیتیویدی تیپ کوه پنج را بدون وجود واحدهای مافیک در گستره کمان شکل دادند [۲۲] (شکل ۱. ب). توده‌های نفوذی تیپ کوه پنج به‌عنوان توده‌های نفوذی مولد کانسارهای مس پورفیری دارای بافت پورفیری و ترکیب سنگ‌شناسی محدود از دیوریت تا گرانودیوریت هستند؛ اما برتری سنگ‌شناسی با توده‌های کوارتز دیوریتی است. به‌طور خلاصه می‌توان گفت که فعالیت‌های آذرین نفوذی در کمان ماگمایی سنوزوییک کرمان در دو گروه سنی ایوسن پایانی- الیگوسن (تیپ جبال بارز) و میوسن میانی- پایانی (تیپ کوه پنج) رخ داده‌اند. بر خلاف توده‌های نفوذی نابارور تیپ جبال بارز که با فعالیت‌های آتشفشانی گسترده ایوسن تا الیگوسن میانی همراه هستند. توده‌های نفوذی تیپ کوه پنج به‌عنوان توده‌های مولد کانسارهای مس پورفیری، در زمانی که فعالیت‌های آتشفشانی روبه زوال گذاشتند در کمان ماگمایی سنوزوییک کرمان تشکیل و جای‌گزین شدند [۱۷]. به‌لحاظ کانی‌سازی مس پورفیری، از بخش‌های

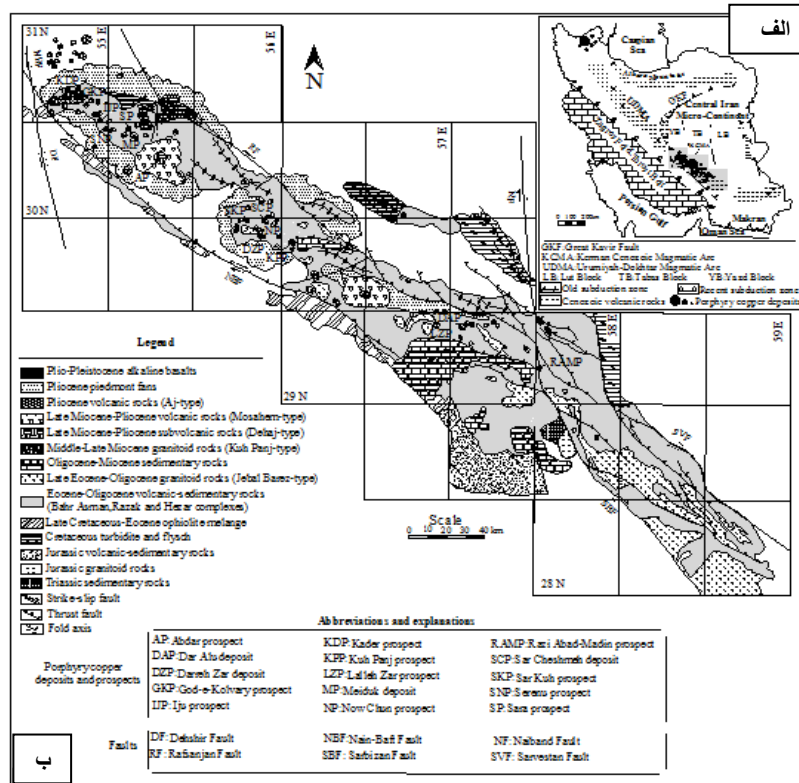
۱. Dimitrijevic

بخش‌های جنوب خاوری به‌طرف نواحی مرکزی و شمال باختری کمربند بر شدت کانی‌سازی و تعدد کانسارهای مس پورفیری افزوده می‌شود؛ به‌طوری‌که نواحی شمال باختری محل وجود رخدادهای اصلی و اقتصادی از کانسارهای مس پورفیری در کمان ماگمایی سنوزویک کرمان است (شکل ۱ ب). این نواحی منطبق بر ضخیم‌ترین بخش‌های پوسته کمان ماگمایی کرمان (با ضخامت ۴۵ تا ۵۰ کیلومتر) هستند (شکل ۲). در این نواحی گرانیتوئیدهای تیپ کوه‌پنج و واحدهای ساب و لکانیک تیپ دهج به سن میوسن میانی-پایانی و میوسن پایانی-پلیوسن (همگی با گرایش آداکیتی) از تمرکز زیادی نسبت به دیگر مناطق برخوردارند. در مقابل، بخش‌های جنوب خاوری کمربند با ضخامت بین ۳۰ تا ۴۰ کیلومتر شدت کانی‌سازی مس پورفیری بسیار ضعیف و کم اهمیت است (شکل ۱ و ۲). تامل در ویژگی‌های فوق‌الذکر نشان می‌دهد که بخش شمال باختری (پهنه دهج-پاریز) کمان ماگمایی سنوزویک کرمان با ویژگی‌هایی مانند وجود رخدادهای فراوان از استوک‌های گرانیتوئیدی تیپ کوه‌پنج و توده‌های ساب و لکانیک تیپ دهج با گرایش شبه‌آداکیتی به سن میوسن میانی-پلیوسن، فشرده شدن بین دو سیستم گسله امتداد لغز فشارشی راست‌گرد در شمال و جنوب، دارا بودن حداکثر ضخامت‌های پوسته و همچنین ظاهر ساختن ویژگی‌های نواحی بالازده و فرسایش یافته قابل تفکیک از نواحی مرکزی (پهنه رفسنجان) و به‌ویژه جنوب باختری (پهنه خانه خاتون- جبال‌بارز) کمان است. این نشان می‌دهد که ماگماتیسم مولد فلززایی مس پورفیری در مراحل نهایی تکامل کمان ماگمایی و با ضخیم‌شدگی پوسته همراه و همزاد بوده است [۱۷].

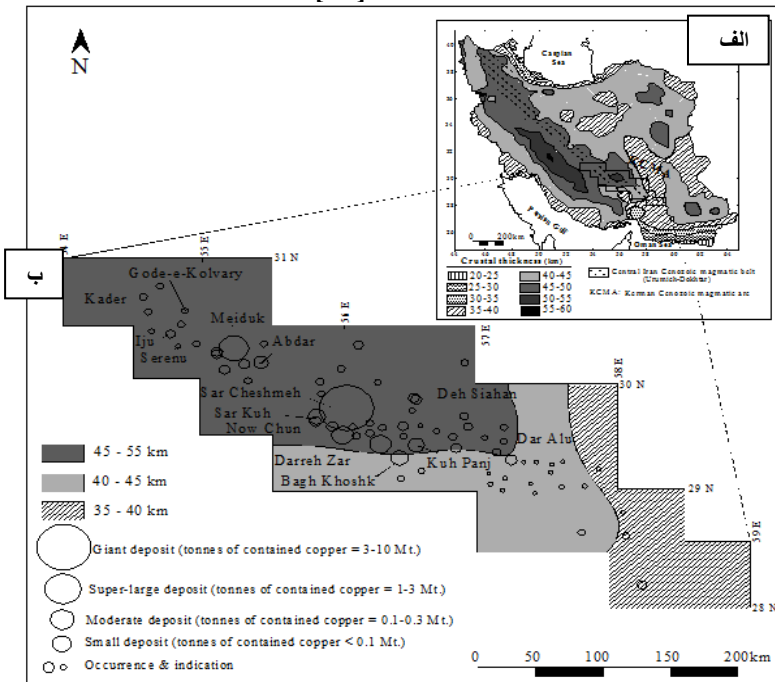
نتایج و بحث

با وجود شباهت‌های موجود در ویژگی‌های سنگ‌شناسی میکروسکوپی و همچنین زمین‌شیمی عناصر اصلی در توده‌های نفوذی با ترکیب سنگ‌شناسی یک‌سان (دیوریت- کوارتزیدیوریت-گرانودیوریت) از هر دو گروه سنی (الیگوسن و میوسن) توده‌های نفوذی نابارور و توده‌های بارور در کمربند مس پورفیری کرمان، تفاوت‌هایی زمین‌شیمیایی به‌ویژه از نظر فراوانی برخی عناصر فرعی و خاکی نادر در آن‌ها آشکار شد که بر اساس این تفاوت‌ها می‌توان آن‌ها را از یکدیگر تفکیک کرد. مهم‌ترین عناصری که این تفاوت‌ها را آشکار ساختند عبارتند از: عناصر فرعی Sr ، HFS ، Y ، MnO و عناصر خاکی نادر شامل La ، Eu و Yb . با استفاده از این تفاوت‌های زمین‌شیمیایی، نسبت‌های شاخصی مانند Sr/Y ، La/Yb و Eu/Eu^* با مقادیر عددی متفاوت در هر دو گروه از توده‌های نفوذی حاصل شد که با ترسیم مقادیر این نسبت‌ها در مقابل برخی عناصر مانند Y ، Yb و SiO_2 یا نمودارهایی ساخته شد که توانست توده‌های بارور را از نابارور تفکیک کند که از مهم‌ترین آن‌ها می‌توان نمودارهای دو متغیره مانند Sr/Y-SiO_2 ، Sr/Y-Y ، La/Yb-Yb ، La/Yb-SiO_2 و Eu/Eu^* را نام برد که می‌توانند همراه با نمودارهای MnO-Y [۶] و $\sum \text{HFSE-Y}$ [۱۰] به‌عنوان نمودارهای تفکیک‌کننده توده‌های نفوذی بارور از نابارور استفاده شوند. این تفاوت‌ها علاوه بر نقش کاربردی آن‌ها در اکتشاف ناحیه‌ای از جنبه‌های صرفاً علمی به‌عنوان شاخص‌هایی در تعبیر و تفسیر فرایندهای سنگ‌زایی و

فلزایی می‌توانند نقش اساسی ایفا کنند. در ادامه برخی از این تفاوت‌های زمین‌شیمیایی و نمودارهای تفکیک کننده بررسی می‌شوند:



شکل ۱. نقشه ساده شده زمین‌شناسی کمان ماگمایی سنوزویک کرمان و موقعیت توده‌های نفوذی بارور و نابارور الیگوسن و میوسن [۱۷]



شکل ۲. الف) نقشه ساده شده ضخامت پوسته در گستره ایران بر پایه نقشه عمق امروزی موهو [۴۸] ب) نقشه تعییرات ضخامت پوسته قاره‌ای در سراسر کمان ماگمایی سنوزویک کرمان و تمرکز کانسارهای اصلی مس پورفیری در بخش‌های شمال غربی کمان که منطبق بر حداکثر ضخامت پوسته است [۱۷]

تهی‌شدگی از Y، MnO و عناصر HFS

یکی از مهمترین ویژگی‌های توده‌های گرانیتوبیدی مولد کانسارهای مس پورفیری مقادیر اندک (کمتر از ۰/۱ درصد)، Y (کمتر از ۱۸ ppm) و مقادیر کمتر از ۱۰۰ ppm مجموع عناصر با میدان پایداری زیاد (Zr، Hf، Ta، ΣHFSE: Nb) است که بالدوین و همکاران [۶] و لنگ و همکاران [۱۰] آن‌ها را به‌عنوان یک ویژگی تفکیک‌کننده برای تفکیک توده‌های پورفیری بارور از نیمه‌بارور و نابارور بهترتیب در کمربند آند (شیلی) و کانسارهای مس پورفیری موجود در ایالت آریزونا آمریکا معرفی کرده‌اند. این ویژگی‌ها که به‌صورت نمودار تفکیک‌کننده ارائه شده‌اند به‌وضوح توده‌های پورفیری بارور را از توده‌های پورفیری نیمه‌بارور و توده‌های نابارور (گرانیتوبیدی تیب جبال بارز) تفکیک کرده است (شکل ۳ و ۴). مطابق شکل ۳، توده‌های گرانیتوبیدی مولد کانسارهای اصلی مس پورفیری کرمان از جمله کانسارهای سرچشمه، میدوک، دره زار، سرکوه، سارا و آبدر در محدوده توده‌های بارور، توده‌های گرانیتوبیدی کانسارهای فرعی مانند کانسارهای در آلو، سرنو، کدر، ایجو، نوچون، کوه‌پنج، لاله‌زار، و رضی‌آباد مدین در محدوده توده‌های نیمه‌بارور و توده‌های گرانیتوبیدی تیب جبال بارز همگی در محدوده توده‌های نابارور واقع شده‌اند. این مطلب با داده‌های اکتشافی ذخیره و عیار این کانسارها و همچنین فعالیت‌های اکتشافی اخیر شرکت مس در تطابق نسبتاً خوبی است. تهی‌شدگی از Y، MnO و عناصر HFS به‌لحاظ تیوری می‌تواند در مراحل مختلف تاریخ تکامل توده‌های گرانیتوبیدی رخ دهد. چهار احتمال قوی برای این تهی‌شدگی مطرح شده است که عبارتند از [۶]، [۱۰]:

(الف) در زمان ذوب‌بخشی سنگ منشأ: در این مورد اعتقاد بر این است که توده‌های نفوذی بارور از ذوب‌بخشی سنگ منشأیی حاصل شده‌اند که یا در این عناصر تهی بوده است و یا کانی‌هایی در پس مانده ذوب در خود نگاهداشته‌اند (مانند گارنت، آمفیبول و پیروکسن)؛

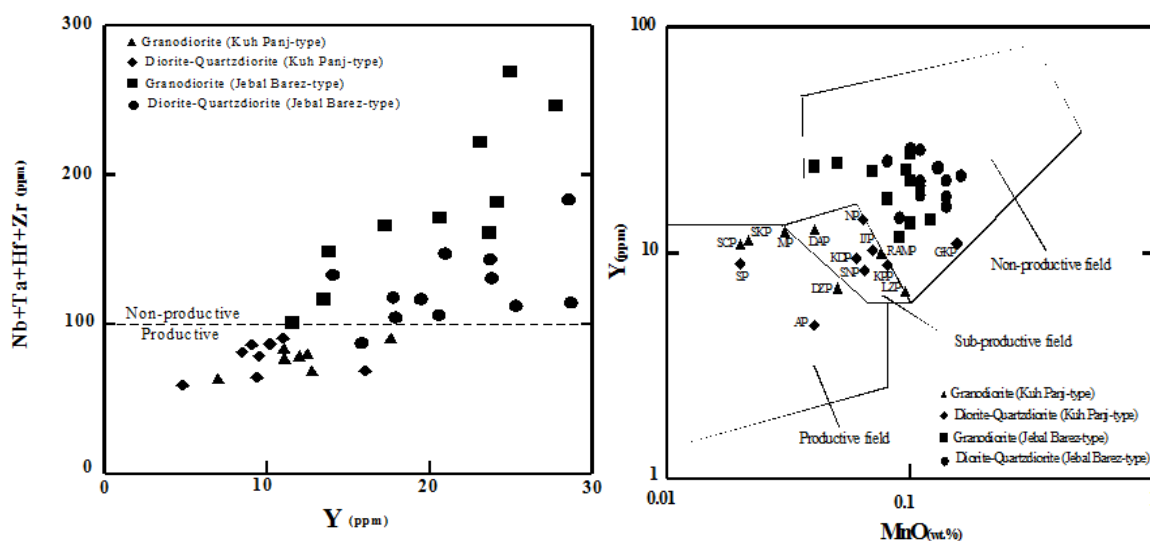
(ب) در طی تبلور تفریقی: تبلور تفریقی برخی کانی‌ها در ماگماهای بارور (مانند آمفیبول، اسفن، زیرکن) باعث جدایش بیشتر عناصر مذکور به داخل آن‌ها و نهایتاً تهی‌شدگی آن‌ها در ماگمای نهایی در مقایسه با توده‌های نابارور می‌گردد؛

(ج) در طی خروج مواد فرار: جدایش یک فاز غنی از CO₂ در عمق [۲۶] و یا یک فاز غنی از H₂O در سطوح بالایی پوسته می‌تواند باعث حذف Y و MnO از ماگمای بارور گردد؛

(د) در طی دگرسانی گرمایی: گذر و اندرکنش سیالات و محلول‌های داغ ماگمایی و یا جوی با ماگمای بارور متبلور شده می‌تواند باعث حذف Y و Mn از محلول کانه‌ساز گردد.

در مراحل اولیه تبلور، اتلاف مواد فرار ممکن است نقش مهمی را در حذف کردن منگنز از ماگمای بارور ایفا کند. سیالات و محلول‌های گرمایی واجد مقادیر چشمگیری از MnO هستند که این مطلب با وجود رگه‌های اکسید منگنز فراوان در اطراف سیستم‌های پورفیری قابل تأیید است. ماگمای بارور باقی‌مانده سرانجام بدین‌گونه دچار تهی‌شدگی از MnO می‌گردد. همچنین تبلور هورنبلند و ایلمنیت از ماگمای بارور و یا پایدار باقی‌ماندن این

کانی‌ها در پس‌مانده حاصل از ذوب‌بخشی می‌تواند باعث تمرکز Mn و همچنین عناصر با میدان پایداری زیاد در آن‌ها گردد که نهایتاً منجر به تهی‌شدگی ماگمای بارور باقی‌مانده از این عناصر می‌گردد؛ بدون این‌که نیازی به رخداد جدایش مواد فرار از ماگما باشد. تهی‌شدگی از Y بر خلاف MnO نمی‌تواند همراه با از دست رفتن مواد فرار در طی تبلور ماگمای بارور حاصل شود [۱۰]، [۲۷]. در صورت تبلور هورنبلند و یا کانی‌های فرعی مثل اسفن و آپاتیت، Y به‌شدت وارد ساختار این کانی‌ها می‌گردد [۱۰]، [۲۹]، [۳۰]. همچنین یک احتمال قوی دیگر برای تهی‌شدگی ماگماهای بارور از Y، منشأ گرفتن آن‌ها از ذوب بخشی‌سنگ مادری است که واجد کانی‌هایی مثل گارنت و هورنبلند در پس‌مانده حاصل از ذوب باشد. به‌ویژه گارنت که قویاً Y را در ساختار خود مشارکت می‌دهد [۳۰]، [۳۱]. با این تفاسیر و با توجه به الگوی پیشنهاد شده برای تشکیل ماگماهای آداکتی نیوژن در کمان ماگمایی کرمان [۱۷] می‌توان عنوان کرد که تهی‌شدگی ماگماهای بارور از Mn بیشتر ناشی از دست رفتن آن همراه با مواد فرار در مراحل ابتدایی تبلور است. تهی‌شدگی این ماگماها از Y و عناصر با میدان پایداری زیاد ناشی از ذوب بخشی سنگ مادر حاوی گارنت و هورنبلند به‌عنوان کانی‌های غالب و پایدار در پس‌مانده حاصل از ذوب و یا جدایش آن‌ها ضمن فرایند تبلور تقریبی به داخل کانی‌های فرعی (زیرکن) و اصلی (پیروکسن و آمفیبول) است که ضریب جدایش زیادی برای Y از ماگمای اولیه دارند.



شکل ۳. تفکیک توده‌های نفوذی بارور از نیمه‌بارور (تیپ کوه پنج) و نابارور (تیپ جبال بارز) در کمان ماگمایی سنوزویک کرمان با استفاده از نمودار Y-MnO؛ نمودار پایه از [۶]

غنی‌شدگی از Sr

غنی‌شدگی زیاد از Sr (بیش‌تر از ۴۰۰ ppm) و یا به‌عبارت بهتر زیاد بودن مقادیر نسبت Sr/Y (بیش‌تر از ۳۰) در ماگماهای مولد کانسارهای مس پورفیری کرمان در مقایسه با ماگماهای نابارور این منطقه (Sr/Y کمتر از ۲۵) از تفاوت‌های بارز و اساسی بین توده‌های مذکور است. با استفاده از نمودار Sr/Y در مقابل مقدار

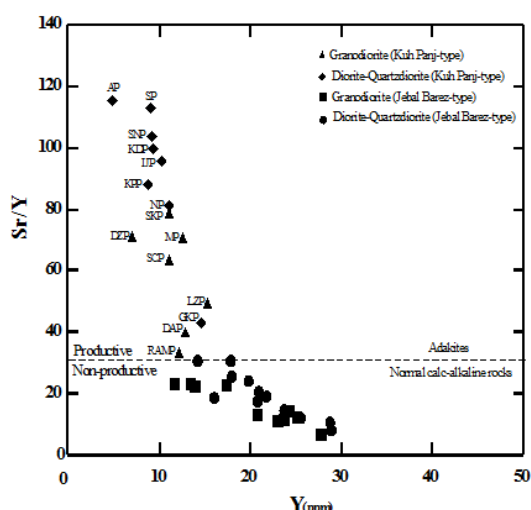
SiO_2 توده‌های تیپ کوه پنج به‌عنوان توده‌های بارور به‌خوبی از توده‌های تیپ جبال بارز به‌عنوان توده‌های نابارور تفکیک گردیدند (شکل ۵). همچنین دفانت^۱ و دروموند^۲ [۳۲] اولین بار از نمودار Sr/Y در مقابل Y که برای تفکیک سنگ‌های آداکیتی از کالک آلکالین معمولی در کمان‌های ماگمایی معرفی شد، استفاده کردند. در این پژوهش به‌خوبی توده‌های مولد کانسارهای مس پورفیری را در محدوده توده‌های آداکیتی و در مقابل توده‌های نابارور جبال بارز را در محدوده سنگ‌های کالک آلکالین معمولی قرار می‌دهد (شکل ۶). گرایش آداکیتی توده‌های نفوذی بارور در بسیاری از ایالت‌های مس پورفیری دنیا از جمله در آند [۲۹]، [۳۳]، [۳۴] و تبت [۳۵]-[۳۸] مورد تایید قرار گرفته است. مارتین و همکاران [۳۹] معتقدند که آداکیت‌ها در حقیقت از زیر مجموعه‌های اصلی ماگماهای کالک آلکالین هستند؛ اما تحت شرایط خاصی از فرآیندهای سنگ‌زایی مانند تفاوت در سنگ منشأهای آن‌ها در ناحیه ذوب و همچنین تفریق بلوری برخی کانی‌های فرعی خاص در مقایسه با سنگ‌های کالک آلکالین معمولی شکل گرفته‌اند که باعث پدیدار شدن برخی ویژگی‌های زمین‌شیمیایی خاص در آن‌ها شده است. در هر حال، زیاد بودن مقادیر نسبت Sr/Y در توده‌های مولد کانسارهای مس پورفیری کرمان نشان می‌دهند که ماگمای مادر این سنگ‌ها ممکن است از محیطی منشأ گرفته باشد که در آنجا پلاژیوکلاز وجود نداشته است و در مقابل آمفیبول و گارنت به‌عنوان کانی اصلی در پس‌ماند حاصل از ذوب نقش اصلی را ایفا کرده است. ناپدید شدن پلاژیوکلاز و ذوب شدن آن طی فرایند ذوب بخشی توانسته است باعث افزایش Sr در ماگمای مادر این سنگ‌ها گردد. همچنین وجود غلظت‌های کم از $Y (\leq 18 \text{ ppm})$ می‌تواند نشان‌گر باقی ماندن مقداری گارنت همراه با آمفیبول در پس‌ماند سنگ منشأ این توده‌ها یعنی سنگ‌های مافیک گارنت آمفیبولیتی موجود در قاعده پوسته قاره‌ای ضخیم شده، تلقی گردد [۱۷]. در مقابل، مقادیر کم Sr در توده‌های نفوذی نابارور (تیپ جبال بارز) ممکن است انعکاس دهنده باقی ماندن پلاژیوکلاز به‌عنوان بخش پس‌مانده حاصل از مذاب و یا تفریق یافتن و جدا شدن پلاژیوکلاز از مذاب طی فرایند ذوب بخشی و نهایتاً تفریق بلوری باشد. این وضعیت باعث جدا شدن Sr از مذاب و وارد شدن آن‌ها در ساختار پلاژیوکلاز می‌گردد. در نتیجه ماگمای نهایی فقیر از عناصر مذکور خواهد شد. همچنین غنی‌شدگی بیشتر این سنگ‌ها از Y می‌تواند نشان‌گر عدم وجود گارنت در سنگ منشأ ماگمای مولد این توده‌ها باشد [۱۷].

تفریق یافتگی زیاد از عناصر خاکی نادر

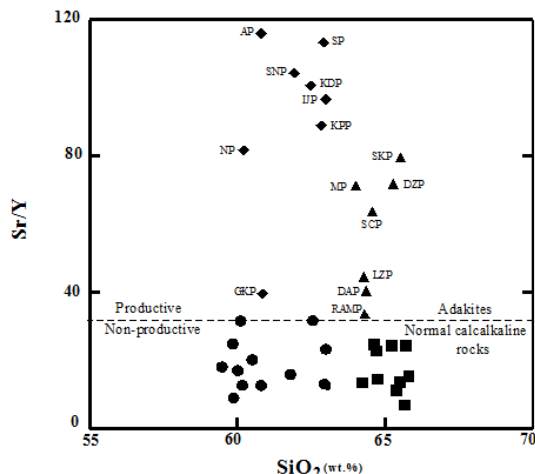
الگوی تغییرات فراوانی عناصر خاکی نادر برای توده‌های نفوذی بارور و نابارور در کمر بند مس پورفیری کرمان که نسبت به کندریت C1 [۴۷] (شکل ۷) نشان‌دهنده روندهای با شیب زیاد برای عناصر خاکی نادر سبک (La-Eu) و با شیب متوسط تا نسبتاً زیاد برای عناصر خاکی نادر سنگین (Gd-Lu) به‌همراه فقدان بی‌هنجاری

۱. Defant

۲. Drummond

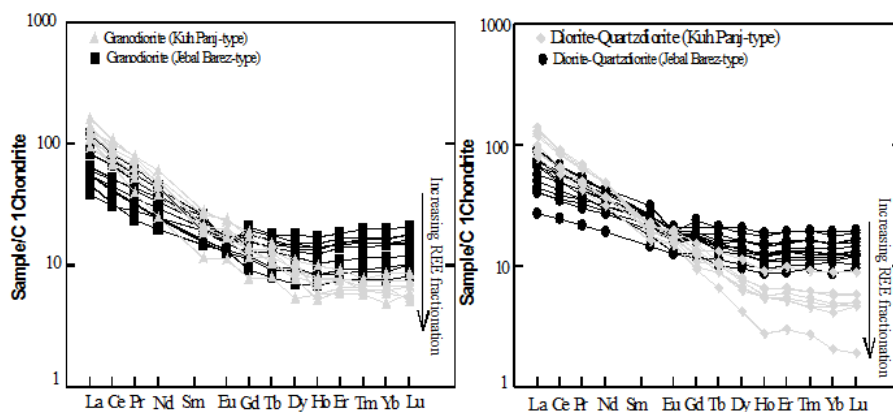


شکل ۶. تفکیک توده‌های نفوذی بارور (تیپ کوه پنج) از نابارور (تیپ جبال بارز) با استفاده از مقادیر نسبت Sr/Y در مقابل Y



شکل ۵. تفکیک توده‌های نفوذی بارور (تیپ کوه پنج) از نابارور (تیپ جبال بارز) با استفاده از مقادیر نسبت Sr/Y در مقابل SiO_2 اختصارات روی شکل مانند زیرنویس شکل ۱ هستند

منفی Eu برای توده‌های بارور است. توده‌های نابارور دارای روندهایی با شیب کم تا متوسط برای عناصر خاکی نادر سبک و روندهای بدون شیب تا بسیار کم شیب برای عناصر خاکی نادر سنگین به همراه بی‌هنجاری منفی Eu هستند. این الگوها به خوبی بیان‌گر افزایش میزان تفریق عناصر خاکی نادر در ماگماتیسم نفوذی کمان ماگمایی سنوزوییک کرمان از دوره ایوسن پایانی- الیگوسن (تیپ جبال بارز) به‌طرف دوره‌های جوانتر (میوسن میانی-پایانی) است که منطبق بر زایش توده‌های نفوذی بارور در کمان بوده است. این تفاوت در روند منحنی‌های مربوط به تغییرات فراوانی عناصر خاکی نادر در این دو تیپ توده نفوذی با افزایش نسبت La/Yb نشان داده می‌شود که نشان‌گر تهی‌شدگی چشمگیر ماگماهای مولد کانسارهای مس پورفیری از Yb در مقایسه با توده‌های نابارور است.

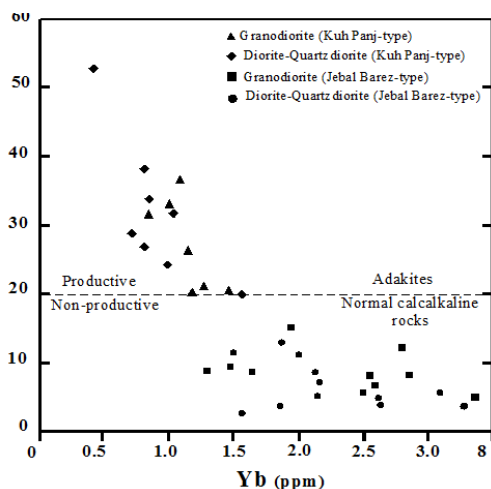


شکل ۷. مقایسه الگوی تغییرات فراوانی عناصر خاکی نادر در توده‌های نفوذی تیپ جبال بارز و تیپ کوه پنج که نسبت به کندریت C1 به‌هنجار شده‌اند. غنی‌شدگی کمتر گرانیتوئیدهای کوه پنج از عناصر خاکی نادر متوسط و سنگین نسبت به گرانیتوئیدهای جبال بارز به‌وضوح با قرار گرفتن روندهای مربوط به عناصر مذکور در آن‌ها در زیر روندهای مربوط به گرانیتوئیدهای جبال بارز آشکار است

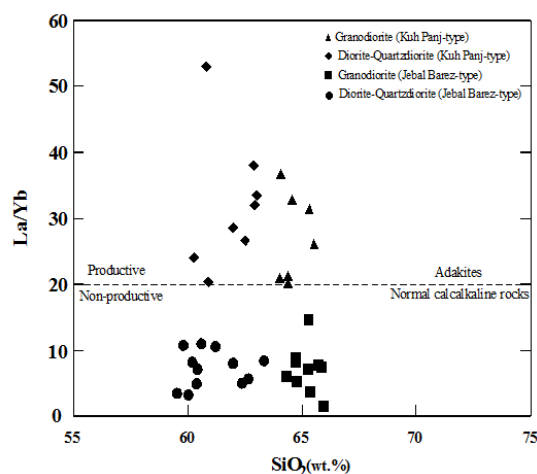
مقدار عددی نسبت La/Yb به‌عنوان شاخصی از مقدار تفریق کل عناصر نادر خاکی (سبک و سنگین از La تا Lu) در ماگماها معرفی شده است به‌گونه‌ای که مقادیر بزرگتر از ۲۰ برای این نسبت به‌عنوان ماگماهای با تفریق یافتگی زیاد و یا ماگماهای منشأ گرفته از ذوب تحت فشار زیاد ناحیه منشأ معرفی شده است [۳۲]، [۳۹]، [۴۰]. در اکثر توده‌های نفوذی مولد کانسارهای مس پورفیری دنیا همانند کانسارهای موجود در ایالت آریزونا ایالات متحده [۱۰]، آند در شیلی [۲۹]، [۳۳]، [۴۱] و چین در تبت [۳۵]–[۳۷]. چنین روندهایی به‌همراه مقادیر بزرگتر از ۲۰ برای نسبت La/Yb گزارش شده است. بر اساس نمودار La/Yb در مقابل SiO_2 توده‌های نفوذی تیپ کوه پنج (بارور) با La/Yb بزرگتر از ۲۰ در دامنه یکسانی از SiO_2 از توده‌های تیپ جبال بارز (نابارور) تفکیک شده‌اند (شکل ۸). بر اساس نمودار La_{CN}/Yb_{CN} در مقابل Yb_{CN} که مارتین^۱ و همکاران [۳۹] برای تفکیک سنگ‌های آداکیتی از کالک آلکالین معمولی در کمان‌های ماگمایی معرفی کرده‌اند توده‌های مولد کانسارهای مس پورفیری کرمان (تیپ کوه پنج) در محدوده توده‌های آداکیتی و توده‌های نابارور (تیپ جبال بارز) در محدوده سنگ‌های کالک آلکالین معمولی قرار گرفته‌اند (شکل ۹). این ویژگی یعنی غنی‌شدگی از La و تهی‌شدگی از Yb ($\leq 1/9$ ppm) در کانسارهای مس پورفیری شیلی [۴۱] و تبت [۳۷]، [۳۹] نیز تایید شده است. وجود غلظت‌های زیاد از عناصر خاکی نادر سبک مثل La نشان‌گر غنی‌بودن این ماگماها از عناصر متحرک تر در طی فرایند آبدزایی در ناحیه ذوب سنگ منشأ این ماگماها [۳۱]، [۴۲] است که خود نشان‌دهنده آبدار بودن چنین ماگماهایی است. از طرف دیگر، وجود غلظت‌های پایین از Yb می‌تواند نشان‌دهنده باقی‌ماندن مقداری گارنت همراه با آمفیبول در پس‌ماند ناحیه منشأ ماگمای مادر این سنگ‌ها باشد؛ زیرا این کانی‌ها عناصر خاکی نادر سنگین به‌همراه Y را به‌طور ترجیحی در ساختمان خود نگه می‌دارند [۳۰]، [۳۱]. بر این اساس می‌توان وجود یک سنگ منشأ با دو کانی آمفیبول و گارنت یعنی سنگ‌های گارنت آمفیبولیتی را به‌عنوان ناحیه منشأ ماگماهای مولد کانسارهای مس پورفیری تصور کرد که ذوب شده است. در نتیجه این ویژگی‌ها به آبدار بودن ماگمای بارور و تشکیل آن تحت فشار زیاد از یک منبع ماگمایی در حضور آمفیبول و گارنت تفسیر می‌شود [۱۷]. تفریق بلوری کانی‌های اصلی (پیروکسن، آمفیبول) و فرعی (آپاتیت، زیرکن، اسفن) در ماگماهای مافیک کالک آلکالین معمولی نیز می‌تواند باعث شکل‌گیری ماگماهایی با تفریق‌یافتگی زیاد از عناصر نادر خاکی ($La/Yb \geq 20$) شود [۲۸]. از آنجا که توده‌های مولد کانسارهای مس پورفیری اکثراً واحدهای حدواسط تا فلسیک هستند (دیوریت، کوارتز دیوریت، گرانودیوریت)، تفریق ماگماهای مافیک نیز می‌تواند چنین ماگماهای حدواسط و فلسیکی را تولید کند. افزایش تفریق باعث اشباع شدن ماگماهای باقی‌مانده از آب، مواد فرار و عناصر خاکی نادر سبک به‌همراه مس و دیگر عناصر کلکوفیل خواهد شد و در مقابل از عناصر خاکی نادر سنگین مانند Yb که وارد کانی‌های متبلور شده از مذاب (همانند پیروکسن و آمفیبول) شده‌اند، می‌گردد. بدین‌ترتیب ماگمای باقی‌مانده یک ماگمای مولد برای کانسارسازی مس پورفیری خواهد بود [۱۰]، [۲۸]

۱. Martin

در هر حال، زیاد بودن نسبت La/Yb (≥ 20) که در بسیاری از توده‌های نفوذی مولد کانسارهای مس پورفیری دنیا مانند ناحیه کرمان ثابت شده است، می‌تواند به‌عنوان کلیدی اکتشافی برای شناسایی توده‌های بارور از نابارور استفاده شود.



شکل ۹. تفکیک توده‌های نفوذی بارور (تیپ کوه پنج) از نابارور (تیپ جبال بارز) با استفاده از مقادیر نسبت La/Yb در مقابل Yb



شکل ۸. تفکیک توده‌های نفوذی بارور از توده‌های نابارور در مقادیر La/Yb بیشتر از ۲۰

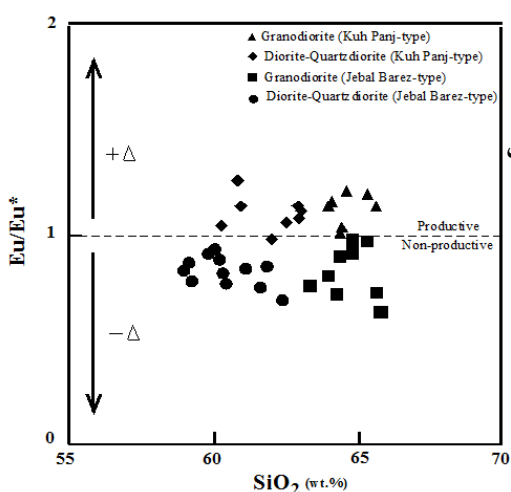
غنی‌شدگی از Eu

از ویژگی‌های دیگر زمین‌شیمیایی پدیدار شده در توده‌های نفوذی مولد (تیپ کوه پنج) که می‌توان آن را به‌عنوان ابزاری مؤثر در شناسایی توده‌های بارور از نابارور استفاده کرد بی‌هنجاری مثبت Eu در آن‌ها است که با مقادیر مساوی و یا بزرگتر از واحد $Eu/Eu^* = Eu_{CN} / \sqrt{Sm_{CN} \times Gd_{CN}}$ مشخص می‌شود (شکل ۱۰). بی‌هنجاری مثبت Eu (+۱) به آبدار بودن ماگما و فوگاسیته زیاد اکسیژن در محیط تشکیل این ماگما تفسیر شده است [۴۴]. اعتقاد بر این است که در دسترس بودن مقادیر زیاد آب در محل تولید مذاب باعث تشکیل ماگماهای آبدار اکسیدان (یعنی با بی‌هنجاری مثبت Eu) می‌گردد. شرایط اکسیدان در ماگمای تولید شده از تشکیل و جدایش فازهای سولفیدی به‌صورت مذاب سولفیدی از مذاب سیلیکاته جلوگیری می‌کند و در نتیجه سبب می‌گردد که گوگرد و مس تا مراحل نهایی در مذاب سیلیکاتی باقی‌مانند و تغلیظ شوند. این فرایند باعث می‌شود که ماگمای نهایی از مس و دیگر فلزات غنی گردند و برای کانسارسازی مناسب شود [۴۴]. از منظر فرایندهای سنگزایی، فقدان بی‌هنجاری منفی Eu در توده‌های نفوذی بارور نشان می‌دهد که ماگمای مادر این توده‌ها ممکن است از محیطی منشأ گرفته باشد که در آن‌جا پلاژیوکلاز به‌دلیل وجود آب فراوان نمی‌توانسته پایدار باشد و ذوب آن طی فرایند ذوب بخشی ناحیه منشأ ماگما توانسته است باعث افزایش مقادیر Eu به‌همراه Sr در ماگمای باقی‌مانده گردد که متعاقباً توانسته توده‌های بارور را شکل دهد [۴۵]، [۴۶]. در مقابل، سنگ‌های با بی‌هنجاری

منفی $(Eu/Eu^* < 1)$ که نشان‌دهنده منشأ گرفتن آن‌ها از ماگماهای مادر با گریزندگی^۱ اندک اکسیژن هستند از این رو که توانایی جلوگیری از تشکیل فازهای سولفیدی و پایدارماندن آن‌ها را در مذاب‌های سیلیکاتی را ندارند، باعث می‌گردد که فازهای سولفیدی تشکیل شده همراه و هم‌زمان با تشکیل سیلیکات‌ها همانند پیروکسن و آمفیبول در ساختار آن‌ها را جای‌گزین گردند. در نتیجه این فرایند میزان گوگرد و فلز در ماگمای باقی‌مانده به شدت کاهش می‌یابد. این ماگما توانایی زایش کانسارهای مس پورفیری را نخواهد داشت. این شرایط ظاهراً در توده‌های تیپ جبال بارز حکم‌فرما بوده است. از جنبه فرایندهای سنگ‌زایی، بی‌هنجاری منفی Eu به همراه مقادیر کم Sr در توده‌های نفوذی تیپ جبال بارز ممکن است انعکاس دهنده باقی ماندن پلاژیوکلاز به‌عنوان بخش پس‌مانده حاصل از مذاب و یا تفریق یافتن و جدا شدن پلاژیوکلاز از مذاب طی فرایند ذوب بخشی و نهایتاً تفریق بلوری باشد [۳۰]، [۳۱]. این وضعیت باعث جدا شدن Eu و Sr از مذاب باقی‌مانده و وارد شدن آن‌ها در ساختار پلاژیوکلاز می‌گردد. در نتیجه ماگمای نهایی که چنین توده‌هایی را شکل داده است فقیر از عناصر مذکور خواهد شد.

نتیجه‌گیری

ویژگی‌های زمین شیمیایی عناصر فرعی (Hf, Sr, Y, MnO) و خاکی نادر (La, Eu, Yb) در نمونه‌های سنگ کُل از توده‌های نفوذی بارور و نابارور در کمربند مس پورفیری کرمان کاملاً از هم متمایزند



شکل ۱۰. تفکیک توده‌های نفوذی بارور از نابارور بر اساس ضریب شاخص اکسیدان بودن ماگما $(Eu/Eu^* > 1)$ ، Δ و $(Eu/Eu^* < 1)$ معرف شدت اکسیدان بودن ماگماها معرفی شده است

که این تمایز ناشی از شرایط کاملاً متفاوت شکل‌گیری ماگمای مادر این توده‌ها در دو دوره زمانی ایوسن-الیگوسن و میوسن میانی- پایانی در گذر مراحل تکاملی کمان ماگمایی سنوزوییک کرمان بوده است. تفاوت‌های زمین‌شیمیایی مذکور نشان می‌دهد که توده‌های بارور چه به‌صورت ماگمای آبدار شکل گرفته تحت ذوب بخشی در فشار زیاد حاصل شده باشند و چه از تبلور تفریقی چنین ماگماهایی به‌وجود آمده باشند، از آب و مواد فرار و به تبع آن فوگاسیته اکسیژن بالایی برخوردار گردیده‌اند که توانسته است از تشکیل و پایدار شدن فازهای سولفیدی در مذاب‌های سیلیکاتی جلوگیری کرده و بدین طریق باعث تغلیظ آن‌ها در بخش سیال گرمایی توده نفوذی در حال

۱. Fugacity

تبلور گردد که در نهایت منجر به شکل‌گیری توده‌های مولد کانسارهای مس پورفیری شده است. نسبت‌های $Eu/Eu^* \geq 1$ و $La/Yb \geq 20$ ، $Sr/Y \geq 30$ به همراه مقادیر کم Y (کمتر از 18 ppm)، MnO (کمتر از 0/1 درصد) و $\sum HFSE \leq 100$ ppm به عنوان شاخص‌های زمین‌شیمیایی ماگماهای آبدار و البته اکسیدان مولد کانسارهای مس پورفیری، می‌توانند در مرحله اکتشاف ناحیه‌ای در دیگر مراکز مس‌خیز ایران استفاده و ارزیابی شوند و از این طریق توده‌های نفوذی بارور را از نابارور تفکیک کرد.

قدردانی

از حمایت‌های مالی امور تحقیق و توسعه شرکت ملی صنایع مس ایران که در این پژوهش همکاری‌های ارزنده‌ای داشته است صمیمانه سپاس‌گزاری می‌شود.

منابع

1. P. G. Feiss, "Magmatic sources of copper in porphyry copper deposits", *Economic Geology*, 73 (1978) 397-404.
2. D. R. Mason, J. A. MacDonald, "Intrusive rocks and porphyry copper occurrences of the Papua New Guinea-Solomon Islands region: A reconnaissance study", *Economic Geology*, 73 (1978) 857-877.
3. D. R. Mason, P. G. Feiss, "On the relationship between whole rock chemistry and porphyry copper mineralization", *Economic Geology*, 74 (1979) 1506-1510.
4. M. H. Karimpour, W. W. Bowes, "Application of trace elements and isotopes for discriminating between porphyry molybdenum, copper, and Tin systems and implications for predicting the grade: Global tectonics and Metallogeny", 2 (1983a) 29-36.
5. S. C. Creasy, "The Schultze Granite, the Tea cup granodiorite, and the granite basin porphyry: A geochemical comparison of mineralized stocks in southern Arizona", U.S. Geological Survey, 15 (1984) 443-446.
6. J. A. Baldwin, J. A. Pearce, "Discrimination of productive and nonproductive porphyritic intrusions in the Chilean Andes", *Economic Geology*, 77 (1982) 664-674.
7. S. E. Kesler, J. M. Isseigonis, A. H. Brownlow, P. E. Damon, W. J. Moore, K. E. Northcote and V. A. Preto, "Geochemistry of biotite from mineralized and barren intrusive systems", *Economic Geology*, 70 (1975) 643-659.

8. D. R. Mason, "Compositional variations in ferromagnesian minerals from porphyry copper-generating and barren intrusions of the western Highlands, Papua New Guinea", *Economic Geology*, 73(1978) 878-890.
9. D. A. F. Hendry, A. R. Chivas, J. V. P. Long, S. J. B. Reed, "Chemical differences between minerals from mineralizing and barren intrusions from some North American porphyry copper deposits", *Contribution to Mineralogy and Petrology*, 89 (1985) 317-329.
10. J. R. Lang, S. R. Titley, "Isotopic and geochemical characteristics of Laramide magmatic systems in Arizona and implications for the genesis of the porphyry copper deposits", *Economic Geology*, 93 (1998) 138-170.
11. J. R. Ballard, J. M. Palin, I. H. Campbell, "Relative oxidation states of magmas inferred from Ce(IV)/Ce(III) in zircon: Application to porphyry copper deposits of northern Chile", *Contribution to Mineralogy and Petrology*, 144 (2002) 347-364.
12. J. Shahabpour, J. D. Kramers, "Lead isotope data from the SarCheshmeh porphyry copper deposit, Kerman, Iran", *Mineralium Deposita*, 22 (1987) 278-281.
13. J. Hassanzadeh, "Metallogenic and tectono-magmatic events in the SE sector of the Cenozoic active continental margin of Iran (Shahr e Babak area, Kerman province)", Ph.D. Thesis, Univ. CLA, USA (1993).
14. B. I. A. McInnes, N. J. Evans, E. Belousova, W. L. Griffin, "Porphyry copper deposits of the Kerman belt, Iran: timing of mineralization and exhumation processes", CSIRO. Scientific Research Report 41 (2003).
15. N. Taghipour, A. Aftabi, R. Mathur, "Geology and Re-Os Geochronology of Mineralization of the Miduk Porphyry Copper Deposit, Iran", *Resource Geology* 58 (2008) 143-160.
16. V. Saric, N. Mijalkovic, "Metallogenic map of Kerman region, 1:500000 scale. In: Exploration for ore deposits in Kerman region", Geological Survey of Iran, 53 (1973).
17. B. Shafiei, M. Haschke, J. Shahabpour, "Recycling of orogenic arc crust triggers porphyry C mineralization in Kerman Cenozoic arc rocks, southeastern Iran", *Mineralium Deposita*, 44 (2009) 265-283.
18. M. D. Dimitrijevic, "Geology of Kerman region", Geological Survey of Iran, 52 (1973).
19. Rio Tinto Ltd., "Structural interpretation of the Kerman belt", Iran: Unpublished report of National Iranian Copper Industries Company, (2001).

20. T. Ahmad, M. Posht Kuhi, "Geochemistry and petrogenesis of Urumiah-Dokhtar volcanic belt around Nain and Rafsanjan area: a preliminary study: Treatise on the Geology of Iran", Iranian Ministry of Mines and Metals, (1993).
21. B. Shafiei, "Lead isotope signatures of the igneous rocks and porphyry copper deposits from the Kerman Cenozoic magmatic arc (SE Iran), and their magmatic-metallogenetic implications", *Ore Geology Reviews*, 38 (2010) 27-36.
22. B. Shafiei, J. Shahabpour, M. Haschke, "Transition from Paleogene normal cala-alkaline to Neogene adakitic-like plutonism and Cu-metallogeny in the Kerman porphyry copper belt: Response to Neogene crustal thickening", *Journal of Sciences, I.R. Iran*, 19 (2008) 67-84.
23. G. Conrad, J. Conrad, M. Girod, "Les formation continentals tertiaries et quaternaries du bloc du lout (Iran): importances du plutonisme et du volcanisme", *Mem. H. Ser. Soc. Geol. France*, 8 (1977) 53-75.
24. M. Ghorashi-Zadeh, "Development of hypogene and supergene alteration and copper mineralization patterns, Sar Cheshmeh porphyry copper deposit, Iran" Unpublished M.Sc. thesis, Brock University., Canada (1978).
25. B. I. A. McInnes, N. J. Evans, F. Q. Fu, S. Garwin, "Application of thermo-chronology to hydrothermal ore deposits", *Reviews in Mineralogy and geochemistry*, 58 (2005) 467-498.
26. L. B. Gustafson, "Some major factors of porphyry copper genesis", *Economic Geology*, 73(1978) 600-607.
27. R. T. Flynn, C. W. Burnham, "An experimental determination of rare earth partition coefficients between a chloride containing vapour phase and silicate melts", In: M. J. Drake and J. R. Holloway (Eds.), *Experimental trace element geochemistry: Proceedings of an international conference, held in Sedona, Arizona*, Oxford, Pergamon, 3 (1978) 685-701.
28. J. P. Richards, R. Kerrich, "Adakite-like Rocks: Their diverse origins and questionable role in metallogenesis", *Economic Geology*, 102 (2007) 537-576.
29. T. Bissig, A. H. Clark, J. K. W. Lee, A. V. Quadt, "Petrogenetic and metallogenetic responses to Miocene slab flattening: new constraints from the El Indio-Pascua Au-Ag-Cu belt", *Chile/Argentina. Mineralium Deposita*, 38 (2003) 844-862.
30. P. Henderson, "Rare earth element geochemistry", Elsevier Sci. Pub. Co. (1984) 510.

31. H. Rollinson, "Using geochemical data: Evaluation, presentation", interpretation: Harlow, UK, Longman (1993).
32. M. J. Defant, M. S. Drummond, "Derivation of some modern magmas by melting of young subducted lithosphere", *Nature*, 347 (1990) 662-665.
33. M. Reich, M. Parada, C. Palacios, A. Dietrich, F. Schultz, B. Lehman, "Adakite-like signature of Late Miocene intrusions at the Los Pelambres giant porphyry copper deposit in the Andes of central Chile: metallogenic implications", *Mineralium Deposita*, 38 (2003) 876-885.
34. R. Oyarzun, A. Marquez, J. Lillo, I. Lopez, S. Rivera, "Giant versus small porphyry copper deposits of Cenozoic age in northern Chile: adakitic versus normal calc-alkaline magmatism", *Mineralium Deposita*, 36 (2001) 794-798.
35. Q. Wang, D. A. Wyman, J. F. Xu, Z. H. Zhao, P. Jian, X. L. Xiong, Z. W. Bao, C. F. Li and Z. H. Bai, "Petrogenesis of Cretaceous adakitic and shoshonitic igneous rocks in the Luzong area, Anhui Province (eastern China): Implications for geodynamics and Cu-Au mineralization", *Lithos*, 89 (2006a) 424-446.
36. L. Zhang, X. Wenjiao, K. Qin, Q. Zhang, "The adakite connection of the Tuwu-Yandong copper porphyry belt, Eastern Tianshan, NW China: trace element and Sr-Nd-Pb isotope geochemistry", *Mineralium Deposita*, 41 (2006) 188-200.
37. Z. Hou, Z. Yang, X. Qu, X. Meng, Z. Li, G. Beaudoin, Z. Rui, Y. Gao, "The Miocene Gangdese porphyry copper belt generated during post-collisional extension in Tibetan orogen", *Ore Geology Reviews*, 36(2009) 25-51.
38. Z. Yang, Z. Hou, N. C. White, Z. Chang, Z. Li, Y. Song, "Geology of the post-collisional porphyry copper deposits at Qulong, Tibet", *Ore Geology Reviews*, 36 (2009) 133-159.
39. H. Martin, R. H. Smithies, R. Rapp, J. F. Moyen, D. Champion, "An overview of adakite, tonalite-trondhjemite-granodiorite (TTG), and sanukitoid: relationships and some implications for crustal evolution", *Lithos*, 79 (2005)1-24.
40. H. Rollinson, "Geodynamic controls on adakite, TTG and sanukitoid genesis: implications for models of crust formation", *Lithos*, 79 (2005) ix-xii.
41. F. Camus, J. Dilles, "A special issue devoted to porphyry copper deposits of Northern Chile:Preface", *Economic Geology*, 96 (2001) 233-237.

42. S. M. Kay, C. Mpodozis, "Central Andes ore deposits linked to evolving shallow subduction systems and thickening crust", *GSA TODAY (Geol. Soc. Am.)*, 11 (2001) 4-9.
43. J. P. Richards, A. J. Boyce, M. S. Pringle, "Geological evolution of the Escondida area, northern Chile: A model for spatial and temporal localization of porphyry Cu mineralization", *Economic Geology*, 96 (2001) 271-305.
44. E. J. Mungall, "Roasting the mantle: slab melting and the genesis of major Au and Au-rich Cu deposits", *Geology*, 30 (2002) 915-918.
45. G. M. Moore, I. S. E. Carmichael, "The hydrous phase equilibria (to 3 kbar) of an andesite and basaltic andesite from western Mexico: constraints on water content and conditions of phenocryst growth", *Contribution to Mineralogy and Petrology*, 130 (1998) 304-319.
46. P. B. Kelemen, K. Hanghoj, A. R. Greene, "One view of the geochemistry of subduction-related magmatic arcs, with an emphasis on primitive andesite and lower crust", In: R.L. Rudnick, (Ed.), *Treatise on Geochemistry*, 3 (2003) 593-659.
47. S. S. Sun, W. F. McDonough, "Chemical and isotopic systematics of oceanic basalts: implications for mantle composition and processes. In: A. D. Saunders and M. J. Norry, (Eds.), *Magmatism in ocean basins*", *Geological Society of London*, 42 (1989) 313-345.
48. G. A. Dehghani, T. Makris, "The gravity field and crustal structure of Iran", *Geological Survey of Iran*, 51(1983) 51-68.